

SIMULACIÓ DEL COMPORTAMENT D'UNA INSTAL·LACIÓ SOLAR: UTILITZACIÓ DEL LLENGUATGE DSL

I. ROJO J. VAZQUEZ

La simulació contínua és una eina de gran importància en el disseny de sistemes complexes. La possibilitat d'analitzar el comportament d'aquests ambans de la seva construcció permet de veure'n la resposta en front de circumstàncies molt variades i escollir adequadament els paràmetres. Al present article es presenta la simulació del comportament d'una instal·lació de panels solars per a la producció d'aigua calenta, que utilitza energia elèctrica en els moments de poca irradiació. La diversitat de condicions atmosfèriques i les variacions de la demanda aconsellen la simulació. Aquesta s'ha realitzat amb el llenguatge DSL, que es descriu breument. Finalment, es presenten els resultats de les simulacions concretes realitzades, i es discuteixen les prestacions i rendiment de la instal·lació.

1. INTRODUCCIO

La simulació continua, com a eina informàtica, consisteix en la integració numèrica de les equacions diferencials que representen el comportament d'un cert sistema seguint certes hipòtesis simplificatives. El conjunt d'equacions diferencials es denomina model (matemàtic) del sistema.

Les tècniques de simulació contínua s'utilitzen tant per a posar a punt un model, comparant el seu comportament amb la realitat, com per a, en una segona fase, estudiar la resposta del sistema en condicions no experimentades a la realitat o altres aplicacions.

Un cop determinat el model, caldrà codificar l'entrada a un llenguatge de simulació standard, el qual a partir d'aquí s'encaixarà de tot el procés d'integració, o bé programar la seva integració numèrica en un llenguatge d'alt nivell (Fortran, Algol, etc.). La utilització d'un llenguatge de simulació té, sobre el segon sistema, l'avantatge que el model és codificable més fàcilment i existeixen mecanismes per a una gestió molt còmoda del procés d'integració (encara que en general aquest serà una mica més lent).

Al present article s'estudia el comportament d'una instal·lació de panels solars per a la producció d'aigua calenta.

A continuació, a l'apartat 2 es discuteix el model utilitzat; la complexitat i incertesa amb que varien les variables d'entrada i sortida fa aconseable la simulació amb un llenguatge suficientment flexible.

Als apartats 3 i 4 es presenta el llenguatge DSL general i la seva implementació particular a l'ordinador amb que s'ha treballat. En aquests casos de simulacions interactives, el DSL és particularment apropiat.

Finalment, a l'apartat 5 es presenten i discuteixen els resultats de la simulació.

2. DESCRIPCIO DEL MODEL

La instal·lació a modelitzar, conjunt de panels solars dedicats a la producció d'aigua calenta a 80-90°C, consta (figura 1) de:

- Conjunt de panels solars de coberta simple, de 50m²
- Acumulador de calor de 5m³, i constant de perdudes de 50 w/°C; l'aigua circula dels panels a l'acumulador a raó d'un litre/se

I. Rojo, J. Vazquez de la Càtedra de Mètodes Informàtics, ETSEIB.
Article rebut el desembre del 1979.

gon, per acció d'una bomba de 300 w.

- Vàlvula de 3 vies que, segons la temperatura d'aquest acumulador, connecta la seva sortida directament al consum o, a través d'una bomba de calor, a un segon dipòsit acumulador.
- Bomba de calor, que manté una temperatura elevada a l'acumulador 2, treballant entre 20 i 80°C.
- L'acumulador de calor 2, de 10m³ i constant de perdues de 50 w/°C, que alimenta o no el consum segons la vàlvula de 3 vies.
- Resistència elèctrica per a calentar, si és necessari, el dipòsit acumulador 2.
- Controlador, que actua sobre la bomba de circulació entre els panels i l'acumulador 1, la bomba de calor, la resistència i la vàlvula de tres vies.

La descripció de les variacions de l'entrada (radiació solar) al model anterior requereix tenir un model de sol.

En aquest cas hem utilitzat el que proposen Jahkola i Wellman /1/, en que, a partir de l'època de l'any, hora solar, coordenades geogràfiques del lloc, posició dels panels i radiació màxima local anual, es calculen les radiacions directa i difosa. En concret, la intensitat de la radiació directa Id és:

$$I_d = I_{dh} \left[\sin(\gamma) + \cos(\beta - \psi) \cos(\gamma) \frac{1}{\tan(\theta)} \right] |\sin(\theta)| \quad (1)$$

on,

$$\sin(\beta) = \cos(\delta) \sin(\tau) / \cos(\theta) \quad (2)$$

I_{dh} és la intensitat solar instantànea màxima anual.

θ és l'altura del sol (depén de la latitud, hora i època de l'any).

β és l'angle azimutal del sol a partir del sur.

δ és l'angle de declinació del sol, dependent de l'època de l'any.

τ és proporcional a l'hora local

γ és la inclinació del panel respecte el pla horitzontal.

ψ és l'angle azimutal del panel a partir del sur (nul sempre que sigui possible)

I la intensitat de la radiació difosa,

$$I_{dd} = \frac{1}{3} I_{dn} + \frac{2}{3} I_{dn} J \quad (3)$$

$$J = \frac{1}{2} [1 + \sin(\gamma)] \quad (4)$$

on D=175 és un coeficient que depen de l'estació i latitud.

Aquest model, que dóna com a intensitat total

$$I = I_d + I_{dd} \quad (5)$$

no té en compte ni l'efecte d'absorció degut a la capa atmosfèrica, ni la radiació reflectida, ni el filtre que produeixen els núvols. En aquest sentit, creiem que potser interessant d'incloure models de nebulositat que produueixin variacions periòdiques més o menys fortes de la intensitat. Treballarem amb 2 models alternatius de períodes 1 hora i 6 dies, amb 1/2 hora i 2 dies de núvols respectivament. A cada un d'ells la disminució d'intensitat podrà ser del 50%, 75%, 87'5%.

A banda, pot ser interessant veure el comportament de la instalació front a dues necessitats diferents de consum, per exemple:

- un consum constant de 10⁴w en aigua calenta
- un consum punta de 1,5x10⁴w durant només 6 minuts cada hora.

Com veurem més endavant a l'apartat 5, el llenguatge de simulació concret que utilitzem admet molt fàcilment l'alternancia de models que tenim tant a l'entrada com al consum.

- Quant a la instalació propiament dita, les equacions que representen el comportament del panel són:

$$T_{op} = T_{A1} + \dot{Q} / (C_p \cdot Q_D) \quad (6)$$

$$\dot{Q} = I \cdot \rho \cdot S \quad (7)$$

$$\rho = A + B \left(\frac{T_{A1} - T_{op}}{2} - T_{amb} \right) * I \quad (8)$$

on C és el calor específic de l'aigua(w/litre), \dot{Q} és el flux calorífic absorbit pel panel (w), Q_D és el cabal d'aigua que passa per ell, T_{A1} és la temperatura de l'acumulador 1, T_{op} és la temperatura d'entrada al panel, T_{amb} temperatura ambient, ρ és

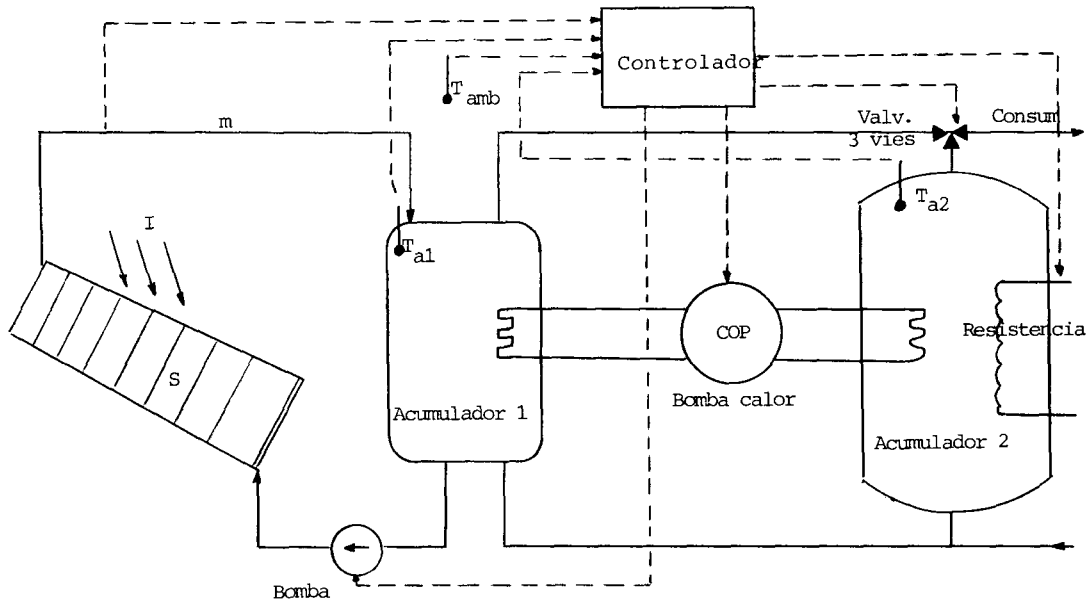


Figura 1. Esquema de la instal.lació solar

el rendiment, S és la superfície de panel i A, B són coeficients sensiblement constants determinats experimentalment i que depenen de les característiques constructives del panel. Normalment, per a panels de coberta simple, $A=0.9$, $B=8.1$.

-Les equacions de l'acumulador 1 són:

$$\dot{Q}_{A1} = Q_D \cdot (T_{op} - T_{A1}) \cdot C_p - \dot{Q}_B - K_1 (T_{A1} - T_{amb}) \quad (9)$$

$$\frac{d}{dt} T_{A1} = \frac{\dot{Q}_{A1}}{C_p \cdot Volum_{A1}} \quad (10)$$

on \dot{Q}_{A1} és el balanç total de flux calorífic a l'acumulador 1, \dot{Q}_B es el flux calorífic tret per la bomba de calor i K_1 és la constant de perdudes a través de l'aïllament. Ara bé, si la vàlvula de tres vies treu aigua d'aquest acumulador caldrà restar el consum a \dot{Q}_{A1} .

-Quant a la bomba de calor, introduceix a l'acumulador 2 un flux de calor \dot{Q}_{B0} superior a la potència elèctrica consumida P_E , segons un coeficient d'operació COP que, /1/, de la mateixa manera que P_E , és en general una funció monòtona creixent de T_{A1} :

$$\dot{Q}_B = (COP-1) \cdot P_E \quad (11)$$

$$\dot{Q}_{B0} = COP \cdot P_E \quad (12)$$

on \dot{Q}_B és el flux calorífic tret de l'acumulador 1.

-El comportament de l'acumulador 2 ve regit de manera similar a l'acumulador 1, per

$$\dot{Q}_{A2} = P_{resist} - K_2 (T_{A2} - T_{amb}) \quad (13)$$

$$\frac{d}{dt} T_{A2} = \frac{\dot{Q}_{A2}}{C_p \cdot Volum_{A2}} \quad (14)$$

(a \dot{Q}_{A2} , si la vàlvula de tres vies es troba tancada, cal afegir \dot{Q}_{B0} - consum)

-Finalment, el controlador, pot produir---- les següents accions:

- Si el rendiment ρ del panel és inferior al 10% (poca radiació per exemple a les nits) es para la bomba, i no circula aigua pels panels. La bomba es tornarà a engegar quan $\rho > (10\% + KH)$ on KH és un factor d'histeresi.
- Com que volem l'aigua per al consum entre 80 i 90°C, quan T_{A1} és suficientment elevada es para la bomba de calor i es connecta l'acumulador 1 a la sortida.
- Si T_{A2} és superior a 90° es para la bomba de calor (es tornarà a engegar quan $T_{A2} < 85^\circ C$)

- Si $T_{A2} < 80^\circ$, es connecta la resistència auxiliar per a calentament de l'acumulador 2.

Finalment direm que el model que hem descrit fins aquí pot, amb molt poc esforç complementari, calcular:

- l'energia acumulada produïda pel panel
- el consum acumulat
- energia elèctrica consumida per la bomba de calor.
- energia elèctrica total
- el rendiment mig del panel
- la fracció solar del consum
- l'estalvi total d'energia elèctrica

Paràmetres que, calculats en diverses simulacions, indicaran si el disseny ha estat correcte o bé cal modificar certs paràmetres.

3. EL LLENGUATGE DSL

El DSL (Digital Simulation Langage), /2/, és un llenguatge de simulació continua que IBM va desenvolupar per als seus ordinadors 1130 i 1800. El DSL font és escrit en Fortran IV.

Donat que un dels llenguatges més estesos en simulació continua és el CSMP, /3/- la missió real del qual és simular digitalment un ordinador analògic i per tant cal entrar li el sistema en forma d'esquema de blocs - és interessant de comparar a grans trets el DSL amb el CSMP abans de passar a una descripció més detallada:

- El sistema de descripció del model és més potent en el DSL ja que permet introduir-lo a través de l'esquema de blocs analògic (com el CSMP) o introduir directament les equacions diferencials, figura 2, o també utilitzar una solució híbrida entre les dues.
- El DSL, pensat per a simulacions en microordenadors, té una notable capacitat interruptiva que no existeix en el CSMP. Així, és possible d'interrompre la simulació en qualsevol moment i canviar paràmetres del model, la tècnica d'integració o la gestió de perifèrics. Per tant, a diferència del CSMP, no té gaire sentit fer simulacions DSL en batch.
- En el DSL, l'usuari té opció a treballar amb diferents mètodes d'integració; també es disposa d'una biblioteca de funcions incorporades, entre les que es --

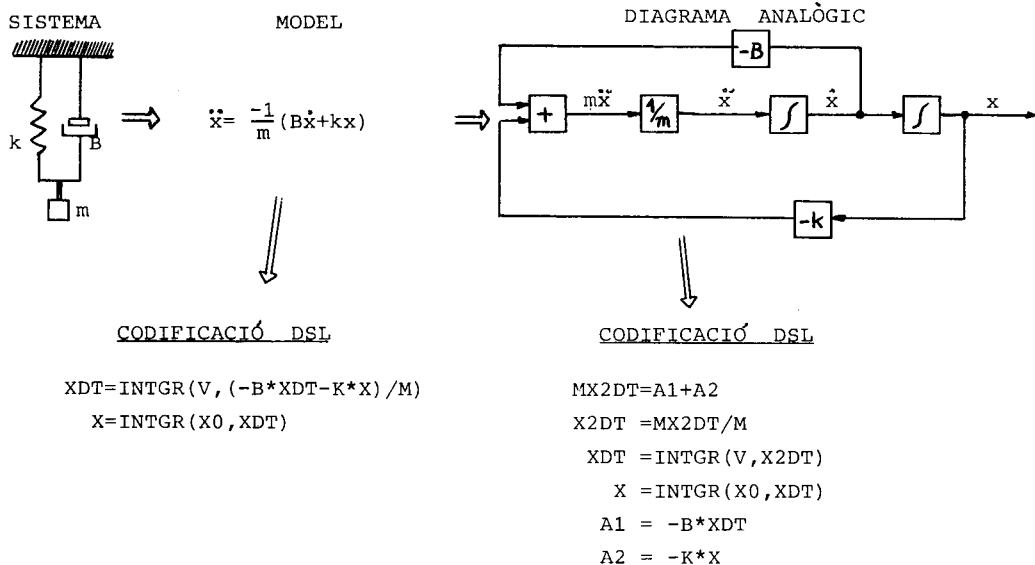


Figura 2. Diferentes possibilitats a la codificació DSL. Integracions amb condicions inicials X_0, V .

poden trobar:

- Funcions commutadores i lògiques
- Generadors de funcions (impuls, rampa, histèresi, funcions periòdiques, pulsos, etc)
- Generadors de funcions donades per punts mitjançant interpolació quadràtica de Lagrange
- Diferents transformacions integrals
- Altres funcions generals, algunes destinades a la depuració de models
- Les funcions incorporades Fortran

-En el DSL, l'usuari pot escollir entre-- diferents mètodes d'integració de les equacions diferencials, i per a cada simulació concreta quedar-se amb el més adient; en-- canvi, en el CSMP el mètode d'integració-- és únic.

La conclusió podria ser que, tot i ser dissenyat per a aplicacions més petites, el-- DSL és superior al CSMP quan hi ha possibilitat de treball en temps real. Aquest cas-- és el cas de l'ordinador Data General Eclipse de l'Escola d'Enginyers Industrials de-- Barcelona en que ha estat implementada la-- versió DSL que aquí presentem.

3.1 Descripció de l'entrada del model i dades

El DSL es pot dividir en dos blocs: el primer, conegit com Compilador DSL, parteix-- de la descripció del model en llenguatge DSL i, en analitzar la correctitud de la sintaxi, dóna a la sortida, un subprograma font-- en Fortran i un conjunt de dades. Un cop-- compilat i suposant que no existeixin errors Fortran ni DSL, aquest subprograma es monta junt amb el bloc Simulador DSL a fi d'obtenir la versió executable del simulador aplicat al model. El procediment és identic al que segueixen altres llenguatges de simulació, com per exemple /4/. L'avantatge d'un treball en varies fases com aquest, consisteix en no haver de repetir les dues fases de compilació en successives simulacions-- d'un mateix model.

El conjunt de sentències de que consta el nostre model a l'entrada al compilador DSL indiquen les relacions entre totes les variables del procés (veure descripció del -- model, (figura 6)). Aquestes relacions poden

ser purament aritmètiques, com per exemple en el submodel d'irradiació solar, o bé contenir integracions com a les definicions-- de T_{A1} i T_{A2} en el model de la instalació solar. Evidentment, tot model que contingui equacions diferencials contindrà relacions d'aquest segon tipus.

L'ordre relatiu de totes les relacions entre variables és indiferent, ja que una de les tasques del compilador DSL serà la de ordenar-les per a aconseguir que tota variable sigui definida abans de ser utilitzada. En aquest sentit, existeixen un conjunt de comandes DSL per a dirigir aquest procés.-- Entre elles tenim:

NOSORT-SORT : Les sentències entre aquestes dues comandes no han de ser-- ordenades, ja que normalment representen programes auxiliars Fortran. Per exemple,-- a la figura 6, les sentencies de definició del calendari.--

PROCED-ENDPRO: Les sentencies que es troben entre aquestes dues comandes-- cal que siguin ordenades respecte al total pero no entre-- elles. Tenen el sentit de la definició d'una variable en-- funció d'altres, definició -- que no és expressable mitjançant una única sentència Fortran. Per exemple, la definició de RENDP al model d'installació solar de la figura 6.

D'altra banda, existeixen sentències DSL-- que indiquen quines són les dades i caràcterístiques de la simulació concreta que vol-- em fer.

Entre elles trobem:

PARAM, CONT, INCON: Definieixen paràmetres i valors inicials per a la simulació. Exemple:

PARAM TAU=25., PI=3.1415
TIME, DELT : Variable independent a la simulació, interval de temps inicial.

PRINT,TYPE,SCOPE,GRAPH: Indiquen com es vol la sortida.
Exemple:
PRINT 0.1,FIT,PSI,PSID

(Escriu els valors de FIT, PSI, PSID cada vegada que la variable independent s'incrementa en 0.1)

INTEG, RELERR, ABSER: Indiquen el tipus d'integració desitjat, i els errors relatiu i absolut màxims permisibles.

Exemples,

INTEG RKS

RELERR FIT=.0001

A l'exemple de la figura 6, un cop acabada la descripció del model, es demana una simulació concreta amb,

- increment de temps 100
- integració per Runge Kutta (veure aparat 4)
- escriptura a intervals regulars de les variables I, ID, IDD, ...
- acabament quan TIME=10⁵

3.2 MÈTODES D' INTEGRACIÓ

L'opció INTEG és la que ens permet a cada-simulació demanar un metode determinat d'integració. Al DSL standard es tenen les següents possibilitats:

INTEG MILNE

S'utilitza un mètode predictor-correcció de Milne, iniciat amb Runge Kutta. S'empra un únic pas de correcció:

$$y_{t+\Delta t} = .96119 \cdot y_{t+\Delta t}^c + .03884 \cdot y_{t+\Delta t}^p \quad (15)$$

i el control del pas d'integració, es basa en el criteri

$$\begin{aligned} |y^c - y^p| &\leq \text{RELERR} \cdot |y^c| & \text{si } |y^c| > 1 \\ |y^c - y^p| &\leq \text{ABSERR} & \text{si } |y^c| \leq 1 \end{aligned} \quad (16)$$

INTEG RKS

S'utilitza el metode de Runge Kutta clàssic de quart ordre amb control de pas d'integració. Aquestes basa en el criteri

$$\frac{|y_{t+\Delta t} - y^s|}{(\text{ABSERR} + |y_{t+\Delta t}| \cdot \text{RELERR})} \leq 1 \quad (17)$$

on y^s és la $y_{t+\Delta t}$ calculada integrant segons el mètode de Simpson,

$$y^s = y_t + \frac{\Delta t}{3} (x_t + 4x_{t+\Delta t/2} + x_{t+\Delta t})$$

$$Y = \int f(x) dt \quad (18)$$

INTEG RKSFX

En aquest cas el mètode de Runge Kutta utilitza el pas inicial DELT i no el varia.

INTEG ADAMS

S'utilitza el metode d'Adams Moulton d'ordre 2.

INTEG TRAPZ

S'utilitza, amb pas fix, un corrector trapezoidal,

$$y_{t+\Delta t} = y_t + \frac{1}{2} \Delta t (x_t + x_{t+\Delta t}) \quad (19)$$

amb predictor d'Euler:

$$y_{t+\Delta t} = y_t + x_t \cdot \Delta t \quad (20)$$

3.3 Estructura interruptiva

L'execució del programa executable obtingut a partir del model reubicable i les llibreries DSL permet un diàleg constant amb l'operador, ja que aquest té la possibilitat d'actuar en tot moment sobre 4 condicions I1...I4 que afecten al procés seguit per la simulació (figura 3). En particular, I1 la-talla en qualsevol moment, i segons el valor de I3 es pot

- continuar la simulació modificant valors de variables, paràmetres, errors permisos, pas d'integració, etc.
- reinicialitzar la simulació amb novades, que seran llegides de cònsola o fitxes segons I2.

(la condició d'interrupció I1 es consulta en acabar cada pas d'integració). La simulació s'acaba quan trobem STOP a les dades.

4. CARACTERISTIQUES ESPECIFIQUES DEL DSL-ECLIPSE

La implementació a l'ordinador Eclipse de l'Escola Tècnica Superior d'Enginyers Industrials de Barcelona del llenguatge DSL ha requerit fer algunes modificacions al llenyatge. En primer lloc, s'ha hagut de variar el compilador DSL per tal que pogués admetre l'entrada en codificació ASCII en lloc de EBCDIC; això ha significat en molts punts una remodelació del compilador, que en la seva versió inicial tenia una estructura molt lligada a la codificació EBCDIC. En segon lloc, l'adaptació al sistema operatiu RDOS

ha implicat fer canvis en la sortida del compilador : aquesta queda arxivada en disc (al DSL original es perforaven fitxes) i al subprograma font resultant es generen automaticament els COMMON necessaris per a l'execució del bloc simulador DSL.

Per altra banda, al mateix temps que les modificacions anteriors, s'ha enriquit l'estructura del simulador en els següents aspectes:

- Inclusió d'un nou mètode d'integració per a escollir, el Runge Kutta d'ordre 4-5 i pas fix o variable (INTEG RKS5FX, INTEG RKS5), /5/. Aquest mètode proposat per Fehlberg l'any 1970, té l'avantatge d'una programació senzilla en ser de passos separats; per altra banda es calculen dues aproximacions d'ordres diferents a cada pas amb la qual cosa el control d'aquest esdevé molt senzill. Tot això sols requereix 6 evaluacions per pas de la funció:

$$K_i = hf(Y_n + \sum_{j=1}^{i-1} \beta_{ij} K_j, t_n + \alpha_i h), \quad i=1..6 \quad (21)$$

$$Y_{n+1} = Y_n + \sum_{i=1}^6 \gamma_i K_i \quad (\text{aprox. ordre 5}) \quad (22)$$

$$Y_{n+1}^* = Y_n + \sum_{i=1}^6 \gamma_i^* K_i \quad (\text{aprox. ordre 4}) \quad (23)$$

$$\text{control de pas basat en } \frac{|Y_{n+1} - Y_{n+1}^*|}{(\epsilon_{\text{abs}} + |Y_{n+1}|_{\text{rel}})} \quad (24)$$

(els coeficients α_i , β_{ij} , γ_i , γ_i^* es poden trobar a la taula I).

- Possibilitat de sortida gràfica al final de la simulació, utilitzant el software-existent de simulació de plotter sobre la impresora Printronix 300 de matriu de punts.
- Possibilitat de sortida gràfica en temps real per pantalla (SCOPE)
- Millora de l'estructura interruptiva. Ara, l'operador té la possibilitat d'actuar en tot moment sobre 6 condicions I1...I6 (figura 4) que gestionen la simulació (a part que el model pot consultar altres condicions modificables mitjançant la rutina REMSW la qual cosa permet, per exemple, variar paràmetres en temps real). Quant a les dues noves condicions I5, I6:
- I5 es consulta en acabar cada simulació; és possible escollir entre

el dibuix de l'evolució temporal d'una certa variable cada cop que s'acaba una simulació, quan ja es tenen varies corbes acumulades, o a la fi de tot el programa.

Taula 1.

Coeficients que intervenen a les equacions del mètode RKS5.

i	α_i	γ_i	γ_i^*	β_{ij}
1	0	.119	.116	
2	.25	.00	.00	.25
3	.375	.519	.549	.094 .281
4	.923	.506	.535	.879 -3.277 3.321
5	1	-.180	.2	2.032 -8.000 7.173 -0.206
6	.5	.036	.00	.296 2.000 -1.382 0.453 -0.275

- I6 permet escollir, al principi de la simulació, el perifèric principal de sortida. Per ell sortiran les dades de la simulació i la seva evolució.

La versió actual del bloc simulador DSL ocupa aproximadament 52 Kbytes més la memòria del programa de l'usuari generat com a sortida del compilador DSL. Per altra banda, permet un màxim de

50 integradors
300 variables d'entrada
100 variables de sortida
60 paràmetres

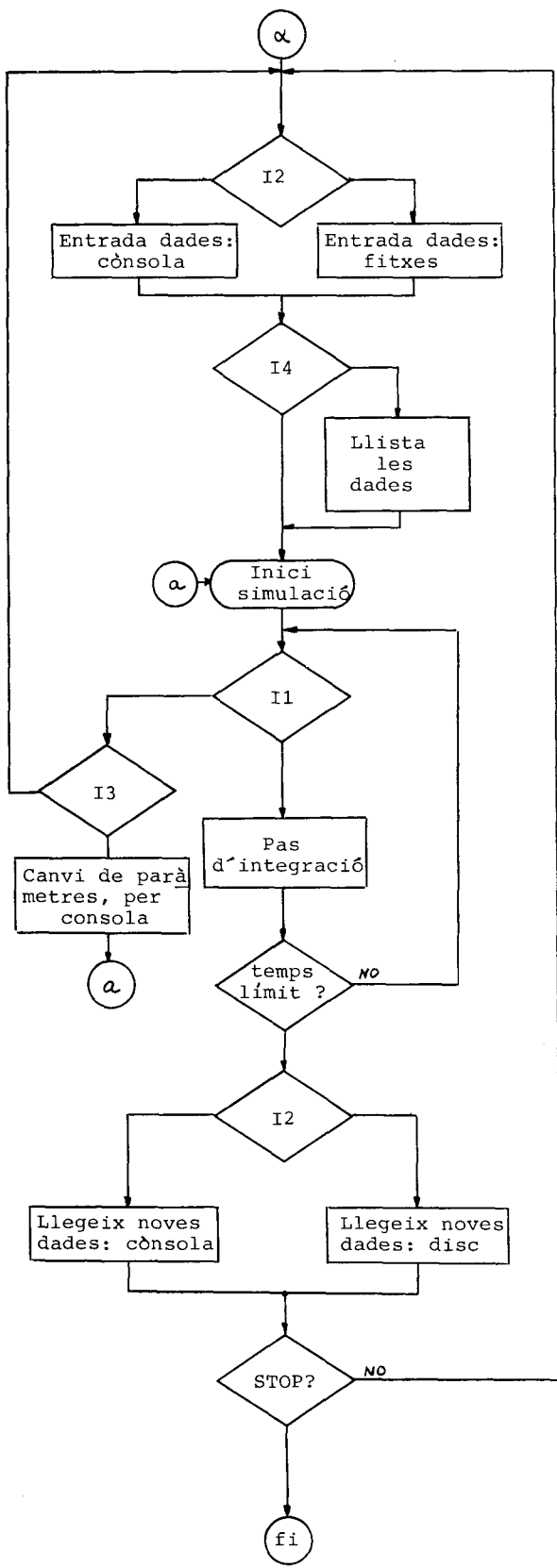


Figura 4. Possibilitats d'interrupció en temps real (DSL standard)

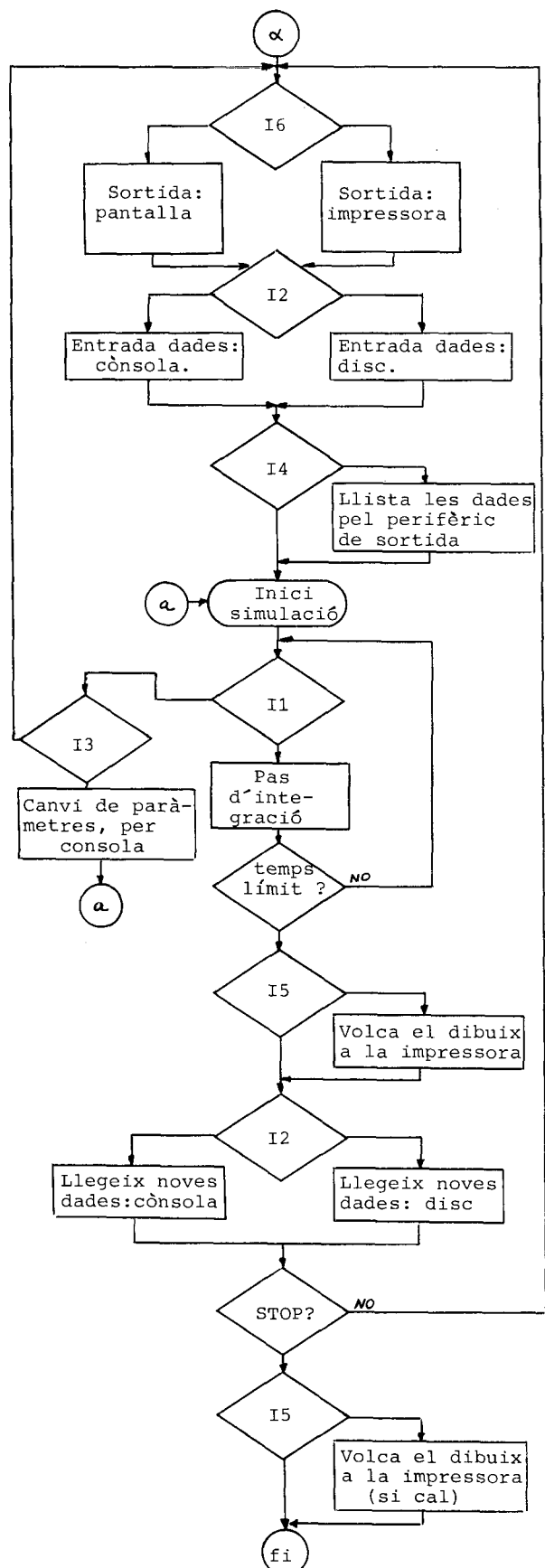


Figura 5. Possibilitats d'interrupció en temps real (versió Eclipse del DSL).

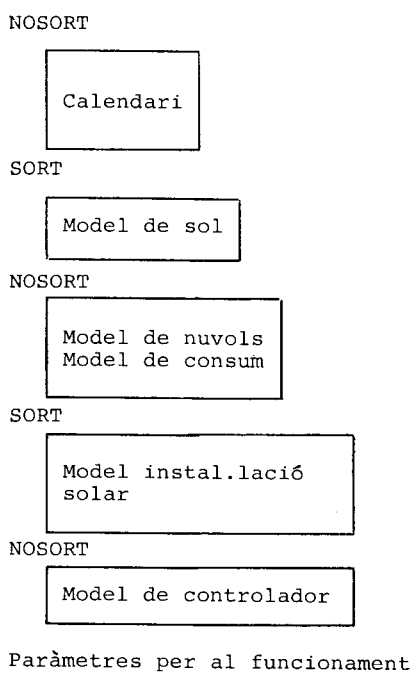


Figura 5. Estructura bàsica del model DSL.

5. SIMULACIONS CONCRETES REALITZADES

5.1 Model DSL

El model descrit a l'apartat 2 cal que sigui presentat utilitzant la sintaxi d'entrada al compilador DSL. En aquest sentit, figura 5, cal colocar en zones "NOSORT" el calendari, filtre de nebulositat, model de consum i model de controlador ja que són petites seccions de programes Fortran, amb lògica interna.

A la figura 6 es presenta el model complet d'entrada al DSL, amb comentaris d'introducció a cada un dels submodels. L'operador pot escollir (i canviar en temps real) un dels models de nebulositat i un dels

de consum.

La sortida del compilador consisteix en la subrutina UPDAT, figura 7, que ja podrà ser carregada juntament amb les llibreries DSL.

5.2 Resultats de la simulació

A les figures 8,9 i 10 es poden veure els resultats d'una simulació del transitori inicial (correspondents a 3 execucions del simulador DSL amb diferents variables de sortida). A les dades de la figura 8 s'indica el valor de tots els paràmetres, i en canvi a les altres només les modificacions. Les condicions inicials són tals que:

TIME=0	(temps en segons)
HORA=0	(hora del dia)
I=0	(radiació solar total, equació (1))
ID < 0	(radiació directa; negatiua ja que el sol ve del darrera)
IDD < 0	(radiació difosa)
GASTO=0	(consum d'aigua calenta, en vats)
ARRAN=0	(bomba de calor parada; ARRAN=1 indica funcio- nament)
DM=0	(cabal d'aigua pels pa- nels)
VAL3V=0	(vàlvula de 3 vies tan- cada)
CONEC=1	(resistència elèctrica conectada)
RENDP=0	(rendiment del panel, e- quació (8).)
DQPAN=0	(\dot{Q} , equació (7).)
PBHD=0	(potència de la bomba hi- dràulica, vats)
TOP=20°	(equació (6).)
DQA1=-200	(equació (9).)
TA1=20°	(equació (10).)
PB=2000	(potència elèctrica P_E de la bomba de calor, equa- ció (11).)
DQB=2000	(\dot{Q}_B , equació (11).)
DQBO=2200	(\dot{Q}_{BO} , equació (12).)
DQA2= 2.44×10^4	(\dot{Q}_{A2} , equació (13).)
TA2=20°	(equació (14).)
PRES= 2×10^4	(potència elèctrica de la resistència, vats)

I la simulació es realitza sense nevulositat ni consum, al mes d'abril. Els resultats s'escriuen cada 1000 segons.

De l'observació d'aquestes figures es pot concloure:

- Posant en marxa el sistema a les 12 de la nit, l'acumulador 2 tarda 23 hores 30 minuts en arribar a la temperatura operativa de 80°C.
- El flux calorífic màxim del panel s'obté a les 11 hores 10 minuts.
- La bomba d'alimentació del panel es desconecta a les 16h. 25m., quan encaixa hi ha sol (el rendiment del panel és ja massa baix)

Finalment, les figures 11 a 14 presenten simulacions al llarg de tot un any, d'abril a abril. S'escriu el valor de les variables cada dos dies encara que per raons de claredat, s'han suprimit 200 dies intermitjos a les figures. S'ha emprat una nebulositat de 1/8 durant dos de cada 6 dies, i un consum constant (dia i nit) de 10 kilovats d'aigua al que s'afegeix una punta de 15 kilovats els 6 primers minuts de cada hora (evidentment, amb una complicació no massa gran del model podriem incloure una nebulositat i/o consum estocàstics i funció de l'època de l'any). Les condicions inicials són tals que les variables

EP	energia acumulada produïda pel panel
EG	consum total d'aigua calenta acumulat
EBC	energia elèctrica acumulada consumida per la bomba de calor
EE	energia elèctrica acumulada total
COPM	coeficient d'operació mig, (COP mig equació (11).)
RMPN	rendiment mig del panel (ρ mig, equació (8).)
FSG	fracció solar del consum, $EP/(EP+EE)$
AEE	estalvi d'energia elèctrica EG-EE, en jouls.

són nules en iniciar la simulació.

D'aquestes figures es conclou,

- A la simulació de la instalació dissenyada inicialment (figura 11) s'observa una fracció solar del consum del 63% al cap de l'any, força elevat pel fet d'haver-hi una despesa d'aigua constant dia i nit. A més hi ha un estalvi total de 2.44×10^4 jouls (6.9×10^4 Kwh) d'energia elèctrica.
- A la simulació de la figura 12 s'intenta millorar el rendiment del panel augmentant la circulació d'aigua a 3 litres/segon (i en conseqüència baixant la temperatura mitja del panel).

El rendiment certament augmenta de 0.3947 a 0.4022, però l'estalvi d'energia elèctri-

```

*** ENTRADA AL TRADUCTOR DSL ***
*
* TITLE INSTAL LACIO SOLAR
* SIMULACIÓ D'UNA INSTAL LACIO SOLAR CONSISTENT EN UN CONJUNT
* DE PANELS QUE ALIMENTEN UN DISPOSITIU QUE AL MATEIX TEMPS
* ES EL FOCUS FRED D'UNA BOMBA DE CALOR QUE ESCALFA UN ALTRE
* DISPOSITIU QUE S'EN ALIMENTA D'AIGUA ENTRE BO I 90 GRAUS. UNA
* INSTAL LACIO INDUSTRIAL UN CONTROLADOR ACTUA SOBRE
* LA BOMBA D'ALIMENTACIÓ DELS PANELS, LA BOMBA DE
* CALOR, LA RESISTÈNCIA D'ESCALFAMENT DEL SEGON DISPOSITIU
* I LA VALVULA DE TRES VIES PER A QUE L'INSTAL LACIO INDUSTRIAL
* S'ALIMENTI D'UN O D'ALTRE DISPOSITIU.
* S'INCLUÏU MODELS DE RADIACIÓ SOLAR, NEBULOSITAT I CONSUM.
*
*
*
* INTEGER J
NOSORT
PARAM PI = 3.14159
*
*
* CALENDARI
*****
HORA = TIME / 3600
DIA = DIA1
B IF (HORA LT. 24) GO TO 6
HORA = HORA - 24
DIA = DIA + 1
GO TO B
6 IF ( DIA LT. 365 ) GO TO 7
DIA = DIA -365
GO TO 6
7 CONTINUE
PARAM DIA1= 100.
SORT
*
*
* MODEL DE RADIACIÓ SOLAR A SOBRE D'UNA SUPERFÍCIE INCLINADA
*****
JAHKOLA I WEILMAN
CALCULA INTENSITAT DIRECTA I DIFUSA
*
CALCULA I TOTAL
I = ID * 100
*
* RADIACIÓ DIRECTA
ID = ( SIN(GAMMA) + COS(BETAC) / TAN(THETA) * COS(GAMMA)) * ...
IDH * ABS(SIN(THETA))
BETAC = PI/2 - PSI
BETAS = ASIN(COS(DELTA)) * SIN(TAU) / COS(THETA)
THETA = ASIN(SIN(RD1)*SIN(DELTA)+COS(RD1)*COS(DELTA)*COS(TAU))
DELTA = ASIN(SIN(DEMAX) * SIN(LAMB))
PARAM GAMM=30., IDH=1000., PSI=0., DEMAX=22.5, RD=41.
GAMMA = GAMM * PI / 180.
PSI1 = PSI * PI / 180.
RD1 = RD * PI / 180.
DEMAX = DEMAX * PI / 180.
LAMB = (( DIA - 80.) + HORA / 24.) * PI / 182.5
TAU = (HORA - 12.) * PI / 12.
* RADIACIÓ DIFUSA
IDD = 1./3. * IDN + 2./3. * (IDN*JI)
JI = 1./2. * (1+SIN(GAMMA))
IDN = D * SIN(THETA)
PARAM D =175.
NOSORT
IF (I.LT.0) I = 0.
*
*
* FILTRE DE NEBULOSITAT
*****
CALL REMSW (13,J)
IF (J.NE.1) GO TO 1
IF ((HORA-INT(HORA)).LT.0.5) GO TO 2
1 CALL REMSW (12,J)
IF ((J.NE.1)) GO TO 3
IF ((DIA-INT(DIA/6.)*6.) .NE. 0. AND. (DIA-INT(DIA/6.)*6.) .NE. 1.) GO TO 2
3 CALL REMSW (14,J)
IF ((J.EQ.1)) I = I / 4.
CALL REMSW (15,J)
IF (( J.EQ.1)) I = I / 2.
2 CONTINUE
*
*
* MODEL DE CONSUM
*****
CALL REMSW (10,J)
GASTO = 0
IF ((J.EQ.1)) GASTO = CONSU
CALL REMSW (11,J)
IF ((J.EQ.1) AND ((HORA-INT(HORA)).LT.0.1)) GASTO = GASTO + PUNTA
PARAM CONSU = 10000., PUNTA =15000.
SORT
*
*
*
* MODEL D'INSTAL LACIO SOLAR
*****
* PANEL
*
PROCED RENDP = FCN (A,B,TOP,TA1,TAMB,I,DM)
RENDP = 0
IF (DM.NE.0) RENDP = A - B * (((TOP+TA1) / 2. - TAMB)/ I
ENDPRO
DOPAN = 1 * RENDP * S
PROCED PBHD = FCN (DM,PBHD)
PBHD = PBHD
IF (( DM.EQ.0.)) PBHD = 0.
ENDPRO
PROCED TOP = FCN (TA1,DM,CP,A,1,B,TAMB)
IF (DM.NE.0.) TOP = TA1 + DOPAN / DM / CP
TOP = A*I*B + TAMB
ENDPRO
ENDPRO
PARAM A=.9, B=.1, TAMB=20., S=50., PBHD=300., CP=4170
*
* ACUMULADOR 1
*
PROCED DGA1 = FCN ( DM, TOP, TA1, CP, DQB, KPER1, TAMB, GASTO )
DGA1 = DM * (TOP-TA1) * CP + DQB - KPER1 * (TA1-TAMB)
IF (VAL3V.EQ.1) DGA1 = DGA1 - GASTO
ENDPRO
TA1 = INTGR ( TA1, DGA1/MA1/CP )
PARAM KPER1 = 50., MA1=5000., TA1I=20.
*
* BOMBA DE CALOR
*
PROCED PB = FCN (TA1)
PB = 0.
IF (ARRAN.EQ.1.) PB = NLFGN (PBOMB,TA1)
ENDPRO
DQB = (NLFGN(COP,TA1)-1) * PB
DQD0 = NLFGN (COP,TA1) * PB
NLFGN PBOMB = 20., 2000., 40., 2600., 60., 3700., 80., 5200.
NLFGN COP = 20., 1, 1, 40., 2., 60., 3, 1, 80., 4, 7
*
* ACUMULADOR 2
*
PROCED DQA2 = FCN ( DQBD, PRES, GASTO, KPER2, TA2, TAMB, VAL3V, MA2, CP )
DQA2 = PRES - KPER2 * (TA2-TAMB)
IF (VAL3V.EQ.0.) DQA2= DQA2+ DQBD - GASTO
ENDPRO
TA2 = INTGR ( TA2, DQA2/MA2/CP )
PROCED PRES = FCN (CONEC,PRES)
PRES = 0.
IF (CONEC.EQ.1.) PRES = PRESI
ENDPRO
PARAM PRESI = 20000., KPER2=50., MA2=10000., TA2I=20.
NOSORT
*
*
* CONTROLADOR
*****
IF ((TA1-TAMB).GE.((A-.1)*I/B)) DM = 0
IF ((TA1-TAMB).LT.((A-.1-KH)*I/B).AND.I.NE.0.) DM = CAUDA
*
IF (TA1.GT.B5) VAL3V = 1.
IF (TA1.LT.B6) VAL3V = 0.
*
IF (TA2.GT.P0 OR VAL3V.EQ.1. OR TA1.LE.20.) ARRAN = 0.
IF (TA2.LT.B5. AND VAL3V.EQ.0. AND TA1.GT.20.) ARRAN = 1.
*
IF (TA2.LT.B6) CONEC = 1.
IF (TA2.LT.B2) CONEC = 0.
PARAM CAUDA=1., ARRAN=0., CONEC=0., VAL3V=0., KH=1., DM=0.
*
*
* PARAMETRES DE FUNCIONAMENT DEL SISTEMA
*****
EP = INTGR(O.,I*RENDP*S)
EG = INTGR(O.,GASTO)

ERC = INTGR(O.,PB)
EE = INTGR(O.,PB+PRES+PBHD)
COPM1 = INTGR ( O., NLFGN (COP,TA1) * PB )
COPM = COPM1 / ERC
RMPN1 = INTGR(O.,I*S)
RMPN = EP / RMPN1
FSC = EP / (EP + EE)
AEE = EG-EE
*
*
*
PARAM DELT = 100.
INTEG RK55
PRINT 1000.,HORA,I, ID, IDD, GASTO, ARRAN, DM, VAL3V, CONEC
PARAM FINTI = 100000.
END
PRINT 1000.,RENDP,DOPAN,PBHD,TOP,DGA1,TA1
END
PRINT 1000.,PB,DQB,DQD0,DQA2,TA2,PRES
END
PRINT 172800.,EP,EG,EBC,EE,COPM,RMPN,FSG,AEE
PARAM FINTI = 3.1536E7
END
STOP

```

OUTPUT VARIABLE SEQUENCE
1 2 3 4 5 6 7 8 9 10 11 12 13 14 15 16 17 18 19 20 21 22 23 24 25 26 27 28 29 30 31 32 33 34 35 36 37 38 39 40
41 42 43 44 45 46 47 48 49 50 51 52 53 54 55 56 57 58 59 60
61 62 63 64 65 66 67 68 69 70 71 72

STORAGE USED/MAXIMUM
INTGR 8/50, IN VARS 113/300, OUT VARS 72/100, PARAMS 37/60, SYMBOLS 95/(200,

Figura 6. Model entrat al simulador DSL. El simulador dóna, junt amb el llistat, la seqüència de les variables de sortida i la quantitat d'elements del llenguatge utilitzats.

```

SUBROUTINE UPDAT
REAL KI , I , ID , IDD , IDH , LAMB , IDN , JI , KPER1, INTQR,
1MA1 , NLFGN,KPER2,MA2
INTEGER J
COMMON NALRM,IZZ(833),TIME ,DELT ,DELM1,FINT1,DELTP,DELTC,TA1 ,
1TA2 ,EP ,EG ,EBC ,EE ,COPM1,RMPN1,HORA ,DIA ,I ,ID ,
1BETAC,BEIAS,THETA,DELTA,GAMMA,PSI1 ,ROI ,DEMAX,LAMB ,TAU ,IDD ,
1JI ,IDN ,GASTO,RENDP,DGPAN,PBHD ,TOP ,DQA1 ,PB ,DGB ,DGOB ,
1DGA2 ,PRES ,COPM ,RMPN ,FSG ,AEE ,PI ,DIA1 ,GAMM ,IDH ,PSI
1COMMON
1DEMA ,RO ,D ,CONSU,PUNTA,A ,B ,TAMB ,S ,PBH ,CP ,
1KPER1,MA1 ,TA1 ,PBOMB,COP ,PRES,I,KPER2,MA2 ,TA2 ,CAUDA,ARRAN,
1CONEC,VAL3V,KH ,DM ,INZZO,J
HORA = TIME / 3600.
DIA = DIA1
0 IF (HORA.LT.24.) GO TO 6
HORA = HORA - 24.
DIA = DIA + 1.
GO TO 0
6 IF ( DIA.LT.365.) GO TO 7
DIA = DIA -365.
GO TO 6
7 CONTINUE
GAMMA = GAMM * PI / 180.
JI = 1./PI *(1-SIN(GAMMA))
TAU = (HORA - 12.) * PI / 12.
LAMB = (( DIA - 80.) + HORA / 24.) * PI / 182.5
DEMAX = DEMA * PI /180.
DELTA = ASINC SIN(DEMAX) * SIN(LAMB)
ROI = RO * PI / 180.
THETA = ASIN(SIN(ROI)*SIN(DELTA)+COS(ROI)*COS(DELTA)*COS(TAU))
IDN = D * SIN(THETA)
IDD = 1./3. * IDN + 2./3. * (IDN*JI)
PSI1 = PSI * PI / 180.
BETAS = ASIN( COS(DELTA) * SIN(TAU) / COS(THETA))
BETAC = BETAS - PSI1
ID = ( SIN(GAMMA) + COS(BETAC) / TAN(THETA) * COS(GAMMA)) *
1 IDH * ABS(SIN(THETA))
1 I = ID + IDD
IF (I.LT.0.) I = 0.
CALL REMSW (13,J)
IF (J.NE.1) GO TO 1
IF ( (HORA-INT(HORA)).LT.0.5) GO TO 2
1 CALL REMSW (12,J)
IF (J.NE.1) GO TO 3
IF ((DIA-INT(DIA/6.)*6. ).NE.0.. AND. (DIA-INT(DIA/6.)*6. ).NE.1.)GOTO 2
3 CALL REMSW (14,J)
IF ( J.EQ.1) I = I / 4.
CALL REMSW (15,J)
IF ( J.EQ.1) I = I / 2.
2 CONTINUE
CALL REMSW (10,J)
GASTO = 0.
IF (J.EQ.1) GASTO = CONSU
CALL REMSW (11,J)
IF (J.EQ.1. AND. (HORA-INT(HORA)).LT.0.1) GASTO = GASTO + PUNTA
PB = 0.
IF (ARRAN .EQ. 1.) PB = NLFGN (PBOMB,TA1)
DGB = (NLFGN(COP,TA1)-1.) * PB
IF (DM.NE.0.) TOP = TA1 + DGPAN / DM / CP
TOP = A*I/B + TAMB
DQA1 = DM * (TOP-TA1) * CP - DGB - KPER1 * (TA1-TAMB)
IF (VAL3V.EQ.1.) DQA1 = DQA1 - GASTO
TA1 = INTGR ( TA1I, DQA1/MA1/CP )
PRES = 0.
IF ( CONEC.EQ.1.) PRES = PRESI
DQD0 = NLFGN (COP,TA1) * PB
DQA2 = PRES - KPER2 * (TA2-TAMB)
IF (VAL3V.EQ.0.) DQA2= DQA2 + DGOB - GASTO
TA2 = INTGR ( TA2I, DQA2/MA2/CP )
RENDP = 0.
IF (DM.NE.0.) RENDP = A - B * ((TOP+TA1) / 2. - TAMB)/ I
DGPAN = I * RENDP * S
PBHD = PBH
IF ( DM.EQ.0.) PBHD = 0.
IF ( ((TA1-TAMB).GE.((A-1)*I/B)) DM = 0.
IF ( ((TA1-TAMB).LT.((A-1-KH)*I/B)).AND. I.NE.0.) DM = CAUDA
IF (TA1.GT.BS ) VAL3V = 1.
IF (TA1.LT.B0 .) VAL3V = 0.
IF (TA2.GT.B0 .) DR.VAL3V.EQ.1..OR.TA1.LE.20.) ARRAN = 0.
IF (TA2.LT.B5 .) AND VAL3V.EQ.0. AND.TA1.GT.20.) ARRAN = 1.
IF (TA2.LT.B0 .) CONEC = 1.
IF (TA2.GT.B2 .) CONEC = 0.
EP = INTGR(0.,I*RENDP*S)
EG = INTGR(0.,GASTO)
EBC = INTGR(0.,PB)
EE = INTGR(0.,PB+PRES+PBHD)
COPM1 = INTGR ( 0. , NLFGN (COP,TA1) * PB )
COPM = COPM1 / EBC
RMPN1 = INTGR(0.,I*S)
RMPN = EP / RMPN1
FSG = EP ./ (EP + EE)
AEE = EG-EE
RETURN
END

      B   7B   79
      TITLE    INSTAL.LACIO SOLAR
      PARAM PI = 3.14159
      PARAM DIAI= 100.
      PARAM GAMM=30.,IDH=1000.,PSI=0.,DEMA=22.5,RO=41.
      PARAM D =175.
      PARAM CONSU = 10000.,PUNTA =15000.
      PARAM A=.9,B=.8,1,TAMB=20.,S=50.,PBH=300.,CP=4170.

      PARAM KPER1 = 50.,MA1=5000.,TA1I=20.
      NLFGN PBOMB = 20.,2000.,40.,2600.,60.,3700.,80.,5200.
      NLFGN COP = 20.,1,1,40.,2.,60.,3,1,80.,4,7
      PARAM PRESI = 20000.,KPER2=50.,MA2=10000.,TA2I=20.
      PARAM CAUDA=1.,ARRAN=0.,CONEC=0.,VAL3V=0.,KH=.1,DM=0.
      PARAM DELT = 100.
      INTEG RK55
      PRINT 1000.,HORA,I, ID, IDD, GASTO, ARRAN, DM, VAL3V, CONEC
      PARAM FINTI = 100000.
      END
      PRINT 1000.,RENDP,DGPAN,PBHD, TOP, DQA1, TA1
      END
      PRINT 1000.,PB,DGB,DGOB,DQA2,TA2,PRES
      END
      PRINT 172B00.,EP,EG,EBC,EE,COPM,RMPN,FSG,AEE
      PARAM FINTI = 3.1536E7
      END
      STOP
      P
      D
      STOP

```

Figura 7. Subprograma Fortran obtingut pel compilador DSL

*** DATOS DE SIMULACION DSL ***
TITLE INSTAL_LACIO SOLAR
PARAM PT = 3.14159
PARAM DIA1 = 100.
PARAM GMM=30., IDH=1000., PSI=0., DEMA=22.5, RD=41.
PARAM D = 176.
PARAM CONEC = 10000., PUNTA = 15000.
PARAM A=2, B=8, TAM=20., S=50., PRH=300., CP=4170.
PARAM KPER1 = 50., MA1=5000., TAII=20.
PARAM PRESI = 20000., KPER2 = 50., MA2=10000., TAII=20.
PARAM CAUDA=1., ARRAN=0., CONEC=0., VAL3V=0., KH=1., DM=0.
PARAM DELT = 100.
INTEG RK5
PRINT 1000., HORA, I, ID, IDD, GASTO, ARRAN, DM, VAL3V, CONEC
PARAM FINTI = 100000.
END

INSTAL_LACIO SOLAR

TIME	HORA	I	ID	IDD	GASTO	ARRAN	DM	VAL3V	CONEC
000E 00	.0000E 00	.0000E 00	-3160E 03	-9734E 02	.0000E 00	.0000E 00	.0000E 00	.0000E 00	.1000E 01
000E 03	.2522E 00	.0000E 00	-3157E 03	-9709E 02	.0000E 00	.0000E 00	.0000E 00	.0000E 00	.1000E 01
200E 04	.9554E 00	.0000E 00	-3141E 03	-9616E 02	.0000E 00	.0000E 00	.0000E 00	.0000E 00	.1000E 01
273E 04	.7585E 00	.0000E 00	-3129E 03	-9516E 02	.0000E 00	.0000E 00	.0000E 00	.0000E 00	.1000E 01
373E 04	.1389E 01	.0000E 00	-3093E 03	-9329E 02	.0000E 00	.0000E 00	.0000E 00	.0000E 00	.1000E 01
500E 04	.1647E 00	.0000E 00	-3040E 03	-9012E 02	.0000E 00	.0000E 00	.0000E 00	.0000E 00	.1000E 01
600E 04	.1389E 01	.0000E 00	-2987E 03	-8700E 02	.0000E 00	.0000E 00	.0000E 00	.0000E 00	.1000E 01
700E 04	.1944E 01	.0000E 00	-2925E 03	-8336E 02	.0000E 00	.0000E 00	.0000E 00	.0000E 00	.1000E 01
800E 04	.2222E 01	.0000E 00	-2854E 03	-7922E 02	.0000E 00	.0000E 00	.0000E 00	.0000E 00	.1000E 01
900E 04	.2500E 01	.0000E 00	-2785E 03	-7456E 02	.0000E 00	.0000E 00	.0000E 00	.0000E 00	.1000E 01
100E 05	.2778E 01	.0000E 00	-2708E 03	-6947E 02	.0000E 00	.0000E 00	.0000E 00	.0000E 00	.1000E 01
110E 05	.3056E 01	.0000E 00	-2594E 03	-6396E 02	.0000E 00	.0000E 00	.0000E 00	.0000E 00	.1000E 01
120E 05	.3330E 01	.0000E 00	-2495E 03	-5846E 02	.0000E 00	.0000E 00	.0000E 00	.0000E 00	.1000E 01
130E 05	.3611E 01	.0000E 00	-2389E 03	-5372E 02	.0000E 00	.0000E 00	.0000E 00	.0000E 00	.1000E 01
140E 05	.3809E 01	.0000E 00	-2271E 03	-4509E 02	.0000E 00	.0000E 00	.0000E 00	.0000E 00	.1000E 01
150E 05	.4167E 01	.0000E 00	-2152E 03	-3814E 02	.0000E 00	.0000E 00	.0000E 00	.0000E 00	.1000E 01
160E 05	.4444E 01	.0000E 00	-2028E 03	-3093E 02	.0000E 00	.0000E 00	.0000E 00	.0000E 00	.1000E 01
170E 05	.4722E 01	.0000E 00	-1910E 03	-2349E 02	.0000E 00	.0000E 00	.0000E 00	.0000E 00	.1000E 01
180E 05	.5000E 01	.0000E 00	-1770E 03	-1588E 02	.0000E 00	.0000E 00	.0000E 00	.0000E 00	.1000E 01
190E 05	.5279E 01	.0000E 00	-1637E 03	-9067E 01	.0000E 00	.0000E 00	.0000E 00	.0000E 00	.1000E 01
200E 05	.5556E 01	.0000E 00	-1502E 03	-1736E 00	.0000E 00	.0000E 00	.0000E 00	.0000E 00	.1000E 01
210E 05	.5833E 01	.0000E 00	-1443E 03	-1365E 00	.0000E 00	.0000E 00	.0000E 00	.0000E 00	.1000E 01
220E 05	.6111E 01	.0000E 00	-1384E 03	-1298E 00	.0000E 00	.0000E 00	.0000E 00	.0000E 00	.1000E 01
230E 05	.6389E 01	.0000E 00	-1329E 03	-1292E 00	.0000E 00	.0000E 00	.0000E 00	.0000E 00	.1000E 01
240E 05	.6667E 01	.0000E 00	-1202E 03	-3165E 00	.0000E 00	.0000E 00	.0000E 00	.0000E 00	.1000E 01
250E 05	.6944E 01	.0000E 00	-2242E 03	-1848E 00	.0000E 00	.0000E 00	.0000E 00	.0000E 00	.1000E 01
260E 05	.7222E 01	.0000E 00	-2393E 03	-2522E 00	.0000E 00	.0000E 00	.0000E 00	.0000E 00	.1000E 01
270E 05	.7500E 01	.0000E 00	-3160E 03	-5461E 00	.0000E 00	.0000E 00	.0000E 00	.0000E 00	.1000E 01
280E 05	.7778E 01	.0000E 00	-3780E 03	-6187E 00	.0000E 00	.0000E 00	.0000E 00	.0000E 00	.1000E 01
290E 05	.8056E 01	.0000E 00	-5065E 03	-4377E 00	.0000E 00	.0000E 00	.0000E 00	.0000E 00	.1000E 01
300E 05	.8333E 01	.0000E 00	-5705E 03	-4949E 00	.0000E 00	.0000E 00	.0000E 00	.0000E 00	.1000E 01
310E 05	.8611E 01	.0000E 00	-6312E 03	-5492E 00	.0000E 00	.0000E 00	.0000E 00	.0000E 00	.1000E 01
320E 05	.8889E 01	.0000E 00	-6004E 03	-6795E 00	.0000E 00	.0000E 00	.0000E 00	.0000E 00	.1000E 01
330E 05	.9167E 01	.0000E 00	-6432E 03	-7356E 00	.0000E 00	.0000E 00	.0000E 00	.0000E 00	.1000E 01
340E 05	.9444E 01	.0000E 00	-7911E 03	-6924E 00	.0000E 00	.0000E 00	.0000E 00	.0000E 00	.1000E 01
350E 05	.9722E 01	.0000E 00	-8361E 03	-7324E 00	.0000E 00	.0000E 00	.0000E 00	.0000E 00	.1000E 01
360E 05	.1000E 02	.0000E 00	-8765E 03	-7608E 00	.0000E 00	.0000E 00	.0000E 00	.0000E 00	.1000E 01
370E 05	.1028E 02	.0000E 00	-9121E 03	-8007E 00	.0000E 00	.0000E 00	.0000E 00	.0000E 00	.1000E 01
380E 05	.1056E 02	.0000E 00	-9428E 03	-8281E 00	.0000E 00	.0000E 00	.0000E 00	.0000E 00	.1000E 01
390E 05	.1084E 02	.0000E 00	-9693E 03	-8509E 00	.0000E 00	.0000E 00	.0000E 00	.0000E 00	.1000E 01
400E 05	.1111E 02	.0000E 00	-9885E 03	-8690E 00	.0000E 00	.0000E 00	.0000E 00	.0000E 00	.1000E 01
410E 05	.1139E 02	.0000E 00	-1003E 04	-8823E 00	.0000E 00	.0000E 00	.0000E 00	.0000E 00	.1000E 01
420E 05	.1167E 02	.0000E 00	-1013E 04	-8904E 00	.0000E 00	.0000E 00	.0000E 00	.0000E 00	.1000E 01
430E 05	.1194E 02	.0000E 00	-1016E 04	-8941E 00	.0000E 00	.0000E 00	.0000E 00	.0000E 00	.1000E 01
440E 05	.1222E 02	.0000E 00	-1015E 04	-8925E 00	.0000E 00	.0000E 00	.0000E 00	.0000E 00	.1000E 01
450E 05	.1250E 02	.0000E 00	-1008E 04	-8861E 00	.0000E 00	.0000E 00	.0000E 00	.0000E 00	.1000E 01
460E 05	.1278E 02	.0000E 00	-9949E 03	-8747E 00	.0000E 00	.0000E 00	.0000E 00	.0000E 00	.1000E 01
470E 05	.1306E 02	.0000E 00	-9768E 03	-8585E 00	.0000E 00	.0000E 00	.0000E 00	.0000E 00	.1000E 01
480E 05	.1333E 02	.0000E 00	-9533E 03	-8375E 00	.0000E 00	.0000E 00	.0000E 00	.0000E 00	.1000E 01
490E 05	.1361E 02	.0000E 00	-9247E 03	-8118E 00	.0000E 00	.0000E 00	.0000E 00	.0000E 00	.1000E 01

INSTAL_LACID SOLAR

TIME	HORA	I	ID	IDD	GASTO	ARRAN	DM	VAL3V	CONEC
500E 05	.1397E 02	.8910E 03	.7817E 03	.1093E 03	.0000E 00	.1000E 01	.1000E 01	.0000E 00	.1000E 01
510E 05	.1417E 02	.8524E 03	.7471E 03	.1053E 03	.0000E 00	.1000E 01	.1000E 01	.0000E 00	.1000E 01
520E 05	.1444E 02	.8092E 03	.7084E 03	.1008E 03	.0000E 00	.1000E 01	.1000E 01	.0000E 00	.1000E 01
530E 05	.1472E 02	.7616E 03	.6656E 03	.9580E 02	.0000E 00	.1000E 01	.1000E 01	.0000E 00	.1000E 01
540E 05	.1500E 02	.7097E 03	.6193E 03	.9038E 02	.0000E 00	.1000E 01	.1000E 01	.0000E 00	.1000E 01
550E 05	.1528E 02	.6539E 03	.5694E 03	.8454E 02	.0000E 00	.1000E 01	.1000E 01	.0000E 00	.1000E 01
560E 05	.1556E 02	.6166E 03	.5162E 03	.7833E 02	.0000E 00	.1000E 01	.1000E 01	.0000E 00	.1000E 01
570E 05	.1584E 02	.5837E 03	.4601E 03	.7177E 02	.0000E 00	.1000E 01	.1000E 01	.0000E 00	.1000E 01
580E 05	.1611E 02	.5419E 03	.4013E 03	.6489E 02	.0000E 00	.1000E 01	.1000E 01	.0000E 00	.1000E 01
590E 05	.1639E 02	.5080E 03	.3402E 03	.5775E 02	.0000E 00	.1000E 01	.1000E 01	.0000E 00	.1000E 01
600E 05	.1674E 02	.4774E 03	.2770E 03	.5036E 02	.0000E 00	.1000E 01	.1000E 01	.0000E 00	.1000E 01
610E 05	.1714E 02	.4255E 03	.2122E 03	.4278E 02	.0000E 00	.1000E 01	.1000E 01	.0000E 00	.1000E 01
620E 05	.1752E 02	.3818E 03	.1460E 03	.3504E 02	.0000E 00	.1000E 01	.1000E 01	.0000E 00	.1000E 01
630E 05	.1790E 02	.3372E 03	.1064E 03	.2718E 02	.0000E 00	.1000E 01	.1000E 01	.0000E 00	.1000E 01
640E 05	.1828E 02	.2959E 03	.6120E 03	.1925E 02	.0000E 00	.1000E 01	.1000E 01	.0000E 00	.1000E 01
650E 05	.1865E 02	.2514E 03	.3451E 03	.1288E 02	.0000E 00	.1000E 01	.1000E 01	.0000E 00	.1000E 01
6670E 05	.1883E 02	.0000E 00	-1616E 03	-4594E 01	.0000E 00	.1000E 01	.1000E 01	.0000E 00	.1000E 01
6700E 05	.1899E 02	.0000E 00	-1752E 03	-1240E 02	.0000E 00	.1000E 01	.1000E 01	.0000E 00	.1000E 01
6700E 05	.1917E 02	.0000E 00	-1818E 03	-2075E 02	.0000E 00	.1000E 01	.1000E 01	.0000E 00	.1000E 01
6700E 05	.1934E 02	.0000E 00	-2015E 03	-2759E 02	.0000E 00	.1000E 01	.1000E 01	.0000E 00	.1000E 01
6700E 05	.1952E 02	.0000E 00	-2142E 03	-3218E 02	.0000E 00	.1000E 01	.1000E 01	.0000E 00	.1000E 01
6700E 05	.1970E 02	.0000E 00	-2236E 03	-4192E 02	.0000E 00	.1000E 01	.1000E 01	.0000E 00	.1000E 01
6700E 05	.1988E 02	.0000E 00	-2349E 03	-5509E 02	.0000E 00	.1000E 01	.1000E 01	.0000E 00	.1000E 01
6700E 05	.2111E 02	.0000E 00	-2679E 03	-5268E 02	.0000E 00	.1000E 01	.1000E 01	.0000E 00	.1000E 01
6700E 05	.2167E 02	.0000E 00	-2871E 03	-5698E 02	.0000E 00	.1000E 01	.1000E 01	.0000E 00	.1000E 01
6700E 05	.2194E 02	.0000E 00	-2947E 03	-8121E 02	.0000E 00	.1000E 01	.1000E 01	.0000E 00	.1000E 01
6700E 05	.2222E 02	.0000E 00	-3014E 03	-8503E 02	.0000E 00	.1000E 01	.1000E 01	.0000E 00	.1000E 01
6700E 05	.2250E 02	.0000E 00	-3072E 03	-8834E 02	.0000E 00	.1000E 01	.1000E 01	.0000E 00	.1000E 01
6700E 05	.2278E 02	.0000E 00	-3120E 03						

ca i la fracció solar del consum disminueixen degut al consum de la bomba hidràulica. En conseqüència, aquesta segona solució no és gaire aconsellable.

- Observant la simulació de la figura 13-(on, a partir de la configuració del sistema de la figura 12, hem duplicat-la superfície de panels per tal d'augmentar la fracció solar del consum) veiem que realment FSG passa a ser d'un 71%;- ara bé, l'estalvi d'energia elèctrica--no ha variat proporcionalment, i això--és degut a la forta disminució del rendiment dels panels (ara, totes les temperatures d'operació són més elevades)-
- Finalment la simulació de la figura 14- considera el mateix sistema de la figura 11 augmentant només el volum dels--dipòsits. (cosa que disminueix les temperatures d'operació i millora el rendiment). Efectivament, aquesta solució--és, de les quatre, la que produeix un--estalvi més gran d'energia elèctrica.

En conclusió, és més aconsellable augmentar, en aquest sistema, el volum dels acumuladors que la superfície de panels. De--totes maneres, les simulacions ens indiquen que el nostre disseny inicial ja era força acceptable.

6. CONCLUSIONS

Les tècniques de simulació són una eina --molt important en el disseny de sistemes--complexes com el aquí presentat. L'efecte--que la variació de determinats paràmetres té sobre les prestacions del sistema és--quelcom que pot ser fàcilment estudiat,--fins i tot veient-ne els efectes a llarg--termini.

Quant a les simulacions concretes realitzades, han estat d'integració necessàriament lenta pel fet de tenir cada hora una punta de consum de sis minuts. Així i tot les simulacions d'una durada d'un any han significat un temps de sols 10 minuts de--CPU de l'ordinador Eclipse S-130 de la ---E.T.S.E.I.B. D'altra banda, el metode d'integració utilitzat, el RK45, s'ha mostrat molt més apte que els altres per a adaptar-se als canvis brucs en la demanda.

Finalment, es pot concloure que en simulacions com la presentada, es molt aconsellable la utilització d'un llenguatge interactiu com és el DSL, ja que permet una ràpida obtenció en temps real dels paràmetres óptims per al sistema.

7. BIBLIOGRAFIA

- /1/ JAHKOLA, A., WELLMAN,K. "Un modèle de Simulation destiné à l'Etude des Effects --de l'Energie Solaire et des Pompes de Chaleur sur les besoins en Energie d'une Maison". 4^{eme} Colloque sur le Chauffage Electrique, Bordeaux, octobre 1977.
- /2/ SHAH,"Engineering Simulation Using Small Scientific Computers" Prentice Hall,1976
- /3/ WILLSON, R.G. "EAL 640 Continous System Modelling Program" Report 69-5,E.A.I., 1.969
- /4/ RICE,J.R., "ELLPACK 77 User's guide" CSD-TR 226, Computer Science, Purdue University, 1.977.
- /5/ FORSYTHE,G.E., "Computer Methods for Mathematical Computations", Prentice Hall 1.977.

PRINT 1000 . RENDP, DG PAN, PBHD, TOP, DGA1, TA1
END

INSTAL. LACIO SOLAR

TIME	RENDP	DGPAN	PBHD	TOP	DGA1	TA1
.000E 00	.0000E 00	.0000E 00	.0000E 00	.2000E 02	-.2000E 03	.2000E 02
.908E 03	.0000E 00	.0000E 00	.0000E 00	.2000E 02	-.1998E 03	.1999E 02
.200E 04	.0000E 00	.0000E 00	.0000E 00	.2000E 02	-.1990E 03	.1998E 02
.273E 04	.0000E 00	.0000E 00	.0000E 00	.2000E 02	-.1987E 03	.1997E 02
.373E 04	.0000E 00	.0000E 00	.0000E 00	.2000E 02	-.1982E 03	.1996E 02
.500E 04	.0000E 00	.0000E 00	.0000E 00	.2000E 02	-.1976E 03	.1995E 02
.600E 04	.0000E 00	.0000E 00	.0000E 00	.2000E 02	-.1971E 03	.1994E 02
.700E 04	.0000E 00	.0000E 00	.0000E 00	.2000E 02	-.1967E 03	.1993E 02
.800E 04	.0000E 00	.0000E 00	.0000E 00	.2000E 02	-.1962E 03	.1992E 02
.900E 04	.0000E 00	.0000E 00	.0000E 00	.2000E 02	-.1957E 03	.1991E 02
.100E 05	.0000E 00	.0000E 00	.0000E 00	.2000E 02	-.1953E 03	.1991E 02
.110E 05	.0000E 00	.0000E 00	.0000E 00	.2000E 02	-.1948E 03	.1990E 02
.120E 05	.0000E 00	.0000E 00	.0000E 00	.2000E 02	-.1943E 03	.1989E 02
.130E 05	.0000E 00	.0000E 00	.0000E 00	.2000E 02	-.1937E 03	.1988E 02
.140E 05	.0000E 00	.0000E 00	.0000E 00	.2000E 02	-.1934E 03	.1987E 02
.150E 05	.0000E 00	.0000E 00	.0000E 00	.2000E 02	-.1929E 03	.1986E 02
.160E 05	.0000E 00	.0000E 00	.0000E 00	.2000E 02	-.1925E 03	.1985E 02
.170E 05	.0000E 00	.0000E 00	.0000E 00	.2000E 02	-.1920E 03	.1984E 02
.180E 05	.0000E 00	.0000E 00	.0000E 00	.2000E 02	-.1915E 03	.1983E 02
.190E 05	.0000E 00	.0000E 00	.0000E 00	.2000E 02	-.1911E 03	.1982E 02
.200E 05	.0000E 00	.0000E 00	.0000E 00	.2000E 02	-.1906E 03	.1981E 02
.210E 05	.8614E 00	.6216E 04	.3000E 03	.2145E 02	.6172E 04	.1992E 02
.220E 05	.8454E 00	.5957E 04	.3000E 03	.2166E 02	.5820E 04	.2021E 02
.230E 05	.8293E 00	.5512E 04	.3000E 03	.2184E 02	.5430E 04	.2048E 02
.240E 05	.8276E 00	.5283E 04	.3000E 03	.2199E 02	.5004E 04	.2072E 02
.250E 05	.8300E 00	.5389E 04	.3000E 03	.2288E 02	.7380E 04	.2103E 02
.260E 05	.0252E 00	.1235E 05	.3000E 03	.2405E 02	.1033E 05	.2147E 02
.270E 05	.8192E 00	.1518E 05	.3000E 03	.2533E 02	.1314E 05	.2206E 02
.280E 05	.8126E 00	.1787E 05	.3000E 03	.2671E 02	.1580E 05	.2277E 02
.290E 05	.8057E 00	.2041E 05	.3000E 03	.2818E 02	.1828E 05	.2361E 02
.300E 05	.7986E 00	.2278E 05	.3000E 03	.2972E 02	.2059E 05	.2456E 02
.310E 05	.7913E 00	.2497E 05	.3000E 03	.3133E 02	.2270E 05	.2562E 02
.320E 05	.7839E 00	.2698E 05	.3000E 03	.3298E 02	.2461E 05	.2677E 02
.330E 05	.7761E 00	.2879E 05	.3000E 03	.3468E 02	.2631E 05	.2801E 02
.340E 05	.7683E 00	.3039E 05	.3000E 03	.3640E 02	.2780E 05	.2932E 02
.350E 05	.7603E 00	.3179E 05	.3000E 03	.3814E 02	.2906E 05	.3069E 02
.360E 05	.7521E 00	.3296E 05	.3000E 03	.3988E 02	.3011E 05	.3212E 02
.370E 05	.7437E 00	.3392E 05	.3000E 03	.4161E 02	.3092E 05	.3360E 02
.380E 05	.7350E 00	.3464E 05	.3000E 03	.4332E 02	.3151E 05	.3510E 02
.390E 05	.7259E 00	.3514E 05	.3000E 03	.4499E 02	.3186E 05	.3663E 02
.400E 05	.7165E 00	.3541E 05	.3000E 03	.4662E 02	.3200E 05	.3816E 02
.410E 05	.7067E 00	.3545E 05	.3000E 03	.4820E 02	.3191E 05	.3970E 02
.420E 05	.6963E 00	.3526E 05	.3000E 03	.4970E 02	.3151E 05	.4122E 02
.430E 05	.6855E 00	.3484E 05	.3000E 03	.5113E 02	.3087E 05	.4271E 02
.440E 05	.6740E 00	.3420E 05	.3000E 03	.5246E 02	.2979E 05	.4417E 02
.450E 05	.6618E 00	.3334E 05	.3000E 03	.5363E 02	.2808E 05	.4558E 02
.460E 05	.6487E 00	.3227E 05	.3000E 03	.5481E 02	.2756E 05	.4692E 02
.470E 05	.6346E 00	.3099E 05	.3000E 03	.5581E 02	.2604E 05	.4820E 02
.480E 05	.6193E 00	.2952E 05	.3000E 03	.5668E 02	.2432E 05	.4940E 02
.490E 05	.6025E 00	.2786E 05	.3000E 03	.5741E 02	.2242E 05	.5051E 02

INSTAL. LACIO SOLAR

TIME	RENDP	DGPAN	PBHD	TOP	DGA1	TA1
.500E 05	.9839E 00	.2601E 05	.3000E 03	.5801E 02	.2036E 05	.5152E 02
.510E 05	.5632E 00	.2400E 05	.3000E 03	.5846E 02	.1814E 05	.5243E 02
.520E 05	.5397E 00	.2184E 05	.3000E 03	.5876E 02	.1580E 05	.5323E 02
.530E 05	.5127E 00	.1952E 05	.3000E 03	.5891E 02	.1333E 05	.5392E 02
.540E 05	.4813E 00	.1708E 05	.3000E 03	.5890E 02	.1076E 05	.5449E 02
.550E 05	.4439E 00	.1451E 05	.3000E 03	.5873E 02	.8107E 04	.5491E 02
.560E 05	.3985E 00	.1185E 05	.3000E 03	.5841E 02	.5385E 04	.5522E 02
.570E 05	.3417E 00	.9078E 04	.3000E 03	.5793E 02	.2612E 04	.5539E 02
.580E 05	.2683E 00	.6253E 04	.3000E 03	.5730E 02	-.1963E 03	.5543E 02
.590E 05	.1608E 00	.3359E 04	.3000E 03	.5651E 02	.3024E 04	.5533E 02
.600E 05	.0000E 00	.0000E 00	.0000E 00	.5638E 02	.7887E 04	.5510E 02
.610E 05	.0000E 00	.0000E 00	.0000E 00	.4833E 02	.7754E 04	.5472E 02
.620E 05	.0000E 00	.0000E 00	.0000E 00	.4012E 02	.7625E 04	.5436E 02
.630E 05	.0000E 00	.0000E 00	.0000E 00	.3486E 02	.7500E 04	.5399E 02
.640E 05	.0000E 00	.0000E 00	.0000E 00	.3550E 02	.7378E 04	.5264E 02
.650E 05	.0000E 00	.0000E 00	.0000E 00	.3615E 02	.7259E 04	.5229E 02
.660E 05	.0000E 00	.0000E 00	.0000E 00	.3680E 02	.7144E 04	.5294E 02
.670E 05	.0000E 00	.0000E 00	.0000E 00	.2000E 02	.7031E 04	.5260E 02
.680E 05	.0000E 00	.0000E 00	.0000E 00	.2000E 02	-.6921E 04	.5227E 02
.690E 05	.0000E 00	.0000E 00	.0000E 00	.2000E 02	.6815E 04	.5194E 02
.700E 05	.0000E 00	.0000E 00	.0000E 00	.2000E 02	.6710E 04	.5161E 02
.710E 05	.0000E 00	.0000E 00	.0000E 00	.2000E 02	.6609E 04	.5129E 02
.720E 05	.0000E 00	.0000E 00	.0000E 00	.2000E 02	.6510E 04	.5098E 02
.730E 05	.0000E 00	.0000E 00	.0000E 00	.2000E 02	.6413E 04	.5067E 02
.740E 05	.0000E 00	.0000E 00	.0000E 00	.2000E 02	.6319E 04	.5036E 02
.750E 05	.0000E 00	.0000E 00	.0000E 00	.2000E 02	.6227E 04	.5006E 02
.760E 05	.0000E 00	.0000E 00	.0000E 00	.2000E 02	.6137E 04	.4977E 02
.770E 05	.0000E 00	.0000E 00	.0000E 00	.2000E 02	.6050E 04	.4947E 02
.780E 05	.0000E 00	.0000E 00	.0000E 00	.2000E 02	.5964E 04	.4918E 02
.790E 05	.0000E 00	.0000E 00	.0000E 00	.2000E 02	.5880E 04	.4890E 02
.800E 05	.0000E 00	.0000E 00	.0000E 00	.2000E 02	.5798E 04	.4862E 02
.810E 05	.0000E 00	.0000E 00	.0000E 00	.2000E 02	.5718E 04	.4834E 02
.820E 05	.0000E 00	.0000E 00	.0000E 00	.2000E 02	.5640E 04	.4807E 02
.830E 05	.0000E 00	.0000E 00	.0000E 00	.2000E 02	.5564E 04	.4780E 02
.840E 05	.0000E 00	.0000E 00	.0000E 00	.2000E 02	.5489E 04	.4754E 02
.850E 05	.0000E 00	.0000E 00	.0000E 00	.2000E 02	.5416E 04	.4728E 02
.860E 05	.0000E 00	.0000E 00	.0000E 00	.2000E 02	.5344E 04	.4702E 02
.870E 05	.0000E 00	.0000E 00	.0000E 00	.2000E 02	.5274E 04	.4676E 02
.880E 05	.0000E 00	.0000E 00	.0000E 00	.2000E 02	.5205E 04	.4651E 02
.890E 05	.0000E 00	.0000E 00	.0000E 00	.2000E 02	.5138E 04	.4626E 02
.900E 05	.0000E 00	.0000E 00	.0000E 00	.2000E 02	.5072E 04	.4602E 02
.910E 05	.0000E 00	.0000E 00	.0000E 00	.2000E 02	.5007E 04	.4578E 02
.920E 05	.0000E 00	.0000E 00	.0000E 00	.2000E 02	.4944E 04	.4554E 02
.930E 05	.0000E 00	.0000E 00	.0000E 00	.2000E 02	.4882E 04	.4530E 02
.940E 05	.0000E 00	.0000E 00	.0000E 00	.2000E 02	.4821E 04	.4507E 02
.950E 05	.0000E 00	.0000E 00	.0000E 00	.2000E 02	.4762E 04	.4484E 02
.960E 05	.0000E 00	.0000E 00	.0000E 00	.2000E 02	.4703E 04	.4461E 02
.970E 05	.0000E 00	.0000E 00	.0000E 00	.2000E 02	.4646E 04	.4439E 02
.980E 05	.0000E 00	.0000E 00	.0000E 00	.2000E 02	.4590E 04	.4417E 02
.990E 05	.0000E 00	.0000E 00	.0000E 00	.2000E 02	.4535E 04	.4393E 02

Figura 9. Simulació del transitori inicial. Flux calorífic, rendiment i temperatures.

PRINT 1000, PB, DGB, DGOB, DGA2, TA2, PRES
END

INSTAL. LACIO SOLAR

TIME	PB	DGB	DGOB	DGA2	TA2	PRES
.000E 00	.2000E 04	.2000E 03	.2200E 04	.2440E 05	.2000E 02	.2000E 05
.908E 03	.2000E 04	.2000E 03	.2200E 04	.2437E 05	.2053E 02	.2000E 05
.200E 04	.2000E 04	.2000E 03	.2200E 04	.2434E 05	.2117E 02	.2000E 05
.273E 04	.2000E 04	.2000E 03	.2200E 04	.2432E 05	.2160E 02	.2000E 05
.373E 04	.2000E 04	.2000E 03	.2200E 04	.2429E 05	.2218E 02	.2000E 05
.500E 04	.2000E 04	.2000E 03	.2200E 04	.2425E 05	.2292E 02	.2000E 05
.600E 04	.2000E 04	.2000E 03	.2200E 04	.2423E 05	.2350E 02	.2000E 05
.700E 04	.2000E 04	.2000E 03	.2200E 04	.2420E 05	.2408E 02	.2000E 05
.800E 04	.2000E 04	.2000E 03	.2200E 04	.2417E 05	.2466E 02	.2000E 05
.900E 04	.2000E 04	.2000E 03	.2200E 04	.2414E 05	.2524E 02	.2000E 05
.100E 05	.2000E 04	.2000E 03	.2200E 04	.2411E 05	.2582E 02	.2000E 05
.110E 05	.2000E 04	.2000E 03	.2200E 04	.2408E 05	.2639E 02	.2000E 05
.120E 05	.2000E 04	.2000E 03	.2200E 04	.2405E 05	.2697E 02	.2000E 05
.130E 05	.2000E 04	.2000E 03	.2200E 04	.2402E 05	.2755E 02	.2000E 05
.140E 05	.2000E 04	.2000E 03	.2200E 04	.2399E 05	.2812E 02	.2000E 05
.150E 05	.2000E 04	.2000E 03	.2200E 04	.2397E 05	.2870E 02	.2000E 05
.160E 05	.2000E 04	.2000E 03	.2200E 04	.2394E 05	.2927E 02	.2000E 05
.170E 05	.2000E 04	.2000E 03	.2200E 04	.2391E 05	.2985E 02	.2000E 05
.180E 05	.2000E 04	.2000E 03	.2200E 04	.2388E 05	.3042E 02	.2000E 05
.190E 05	.2000E 04	.2000E 03	.2200E 04	.2385E 05	.3099E 02	.2000E 05
.200E 05	.2000E 04	.2000E 03	.2200E 04	.2382E 05	.3156E 02	.2000E 05
.210E 05	.2000E 04	.2000E 03	.2200E 04	.2379E 05	.3213E 02	.2000E 05
.220E 05	.2014E 04	.2204E 03	.2234E 04	.2383E 05	.3270E 02	.2000E 05
.230E 05	.2031E 04	.2468E 03	.2277E 04	.2389E 05	.3328E 02	.2000E 05
.240E 05	.2044E 04	.2711E 03	.2317E 04	.2394E 05	.3385E 02	.2000E 05
.250E 05	.2045E 04	.3023E 03	.2367E 04	.2401E 05	.3443E 02	.2000E 05
.260E 05	.2092E 04	.3485E 03	.2441E 04	.2413E 05	.3500E 02	.2000E 05
.270E 05	.2126E 04	.4104E 03	.2537E 04	.2429E 05	.3556E 02	.2000E 05
.280E 05	.2167E 04	.4881E 03	.2655E 04	.2450E 05	.3617E 02	.2000E 05
.290E 05	.2212E 04	.5819E 03	.2794E 04	.2475E 05	.3674E 02	.2000E 05
.300E 05	.2260E 04	.6915E 03	.2952E 04	.2504E 05	.3736E 02	.2000E 05
.310E 05	.2310E 04	.8167E 03	.3127E 04	.2536E 05	.3796E 02	.2000E 05
.320E 05	.2360E 04	.9587E 03	.3317E 04	.2570E 05	.3857E 02	.2000E 05
.330E 05	.2408E 04	.1110E 04	.3519E 04	.2608E 05	.3919E 02	.2000E 05
.340E 05	.2454E 04	.1276E 04	.3730E 04	.2647E 05	.3982E 02	.2000E 05
.350E 05	.2475E 04	.1452E 04	.3947E 04	.2687E 05	.4046E 02	.2000E 05
.360E 05	.2531E 04	.1636E 04	.4167E 04	.2729E 05	.4111E 02	.2000E 05
.370E 05	.2560E 04	.1824E 04	.4365E 04	.2768E 05	.4177E 02	.2000E 05
.380E 05	.2582E 04	.2015E 04	.4597E 04	.2807E 05	.4244E 02	.2000E 05
.390E 05	.2597E 04	.2204E 04	.4801E 04	.2845E 05	.4312E 02	.2000E 05
.400E 05	.2603E 04	.2389E 04	.4992E 04	.2879E 05	.4380E 02	.2000E 05
.410E 05	.2601E 04	.2566E 04	.5167E 04	.2911E 05	.4450E 02	.2000E 05
.420E 05	.2653E 04	.2815E 04	.5468E 04	.2968E 05	.4520E 02	.2000E 05
.430E 05	.2720E 04	.3094E 04	.5814E 04	.3033E 05	.4592E 02	.2000E 05
.440E 05	.2798E 04	.3381E 04	.6159E 04	.3101E 05	.4666E 02	.2000E 05
.450E 05	.2856E 04	.3675E 04	.6532E 04	.3169E 05	.4741E 02	.2000E 05
.460E 05	.2924E 04	.3972E 04	.6897E 04	.3238E 05	.4818E 02	.2000E 05
.470E 05	.2991E 04	.4267E 04	.7259E 04	.3307E 05	.4896E 02	.2000E 05
.480E 05	.3055E 04	.4558E 04	.7613E 04	.3374E 05	.4976E 02	.2000E 05
.490E 05	.3116E 04	.4839E 04	.7955E 04	.3438E 05	.5058E 02	.2000E 05

INSTAL. LACIO SOLAR

TIME	PB	DGB	DGOB	DGA2	TA2	PRES
.500E 05	.3173E 04	.5104E 04	.8279E 04	.3499E 05	.5141E 02	.2000E 05
.510E 05	.3223E 04	.5355E 04	.8580E 04	.3555E 05	.5226E 02	.2000E 05
.520E 05	.3272E 04	.5580E 04	.8852E 04	.3605E 05	.5312E 02	.2000E 05
.530E 05	.3313E 04	.5778E 04	.9090E 04	.3648E 05	.5399E 02	.2000E 05
.540E 05	.3346E 04	.5944E 04	.9290E 04	.3684E 05	.5486E 02	.2000E 05
.550E 05	.3373E 04	.6075E 04	.9448E 04	.3711E 05	.5575E 02	.2000E 05
.560E 05	.3391E 04	.6168E 04	.9560E 04	.3729E 05	.5664E 02	.2000E 05
.570E 05	.3402E 04	.6221E 04	.9623E 04	.3737E 05	.5754E 02	.2000E 05
.580E 05	.3404E 04	.6233E 04	.9637E 04	.3735E 05	.5843E 02	.2000E 05
.590E 05	.3398E 04	.6203E 04	.9601E 04	.3724E 05	.5933E 02	.2000E 05
.600E 05	.3384E 04	.6132E 04	.9516E 04	.3702E 05	.6022E 02	.2000E 05
.610E 05	.3361E 04	.6018E 04	.9379E 04	.3670E 05	.6110E 02	.2000E 05
.620E 05	.3339E 04	.5908E 04	.9246E 04	.3639E 05	.6198E 02	.2000E 05
.630E 05	.3317E 04	.5800E 04	.9117E 04	.3609E 05	.6285E 02	.2000E 05
.640E 05	.3295E 04	.5696E 04	.8992E 04	.3580E 05	.6371E 02	.2000E 05
.650E 05	.3275E 04	.5595E 04	.8870E 04	.3551E 05	.6457E 02	.2000E 05
.660E 05	.3255E 04	.5497E 04	.8751E 04	.3523E 05	.6541E 02	.2000E 05
.670E 05	.3235E 04	.5401E 04	.8636E 04	.3496E 05	.6626E 02	.2000E 05
.680E 05	.3215E 04	.5308E 04	.8523E 04	.3469E 05	.6709E 02	.2000E 05
.690E 05	.3196E 04	.5218E 04	.8414E 04	.3443E 05	.6792E 02	.2000E 05
.700E 05	.3178E 04	.5130E 04	.8308E 04	.3418E 05	.6874E 02	.2000E 05
.710E 05	.3160E 04	.5044E 04	.8204E 04	.3393E 05	.6956E 02	.2000E 05
.720E 05	.3142E 04	.4961E 04	.8103E 04	.3369E 05	.7037E 02	.2000E 05
.730E 05	.3125E 04	.4880E 04	.8004E 04	.3345E 05	.7117E 02	.2000E 05
.740E 05	.3108E 04	.4801E 04	.7909E 04	.3322E 05	.7197E 02	.2000E 05
.750E 05	.3091E 04	.4724E 04	.7815E 04	.3299E 05	.7277E 02	.2000E 05
.760E 05	.3075E 04	.4649E 04	.7724E 04	.3277E 05	.7356E 02	.2000E 05
.770E 05	.3059E 04	.4576E 04	.7635E 04	.3255E 05	.7434E 02	.2000E 05
.780E 05	.3043E 04	.4505E 04	.7548E 04	.3234E 05	.7512E 02	.2000E 05
.790E 05	.3028E 04	.4435E 04	.7463E 04	.3213E 05	.7589E 02	.2000E 05
.800E 05	.3013E 04	.4367E 04	.7380E 04	.3193E 05	.7666E 02	.2000E 05
.810E 05	.2998E 04	.4301E 04	.7299E 04	.3173E 05	.7742E 02	.2000E 05
.820E 05	.2984E 04	.4237E 04	.7220E 04	.3153E 05	.7818E 02	.2000E 05
.830E 05	.2970E 04	.4174E 04	.7143E 04	.3134E 05	.7893E 02	.2000E 05
.840E 05	.2956E 04	.4112E 04	.7068E 04	.3115E 05	.7968E 02	.2000E 05
.850E 05	.2942E 04	.4052E 04	.6994E 04	.3097E 05	.8043E 02	.2000E 05
.860E 05	.2929E 04	.3993E 04	.6922E 04	.3079E 05	.8117E 02	.2000E 05
.870E 05	.2916E 04	.3936E 04	.6852E 04	.3061E 05	.8190E 02	.2000E 05
.880E 05	.2903E 04	.3880E 04	.6783E 04	.3045E 05	.8223E 02	.0000E 00
.890E 05	.2891E 04	.3825E 04	.6715E 04	.3031E 05	.8248E 02	.0000E 00
.900E 05	.2878E 04	.3771E 04	.6649E 04	.3016E 05	.8273E 02	.0000E 00
.910E 05	.2866E 04	.3719E 04	.6585E 04	.3002E 05	.8297E 02	.0000E 00
.920E 05	.2855E 04	.3667E 04	.6522E 04	.2983E 04	.8321E 02	.0000E 00
.929E 05	.2844E 04	.3622E 04	.6466E 04	.2928E 03	.8321E 02	.0000E 00
.940E 05	.2832E 04	.3568E 04	.6399E 04	.2957E 03	.8311E 02	.0000E 00
.950E 05	.2820E 04	.3520E 04	.6340E 04	.2948E 03	.8310E 02	.0000E 00
.958E 05	.2811E 04	.3480E 04	.6291E 04	.2923E 03	.8309E 02	.0000E 00
.970E 05	.2799E 04	.3426E 04	.6225E 04	.2904E 03	.8307E 02	.0000E 00
.980E 05	.2788E 04	.3381E 04	.6169E 04	.2884E 03	.8289E 02	.0000E 00
.990E 05	.2778E 04	.3337E 04	.6115E 04	.2812E 03	.8283E 02	.0000E 00

Figura 10. Simulació del transitori inicial. Sortida de variables complementàries a les de les figures 8 i 9.

PRINT 172800, EP, EG, EBC, EE, COPM, RMPN, FSG, AEE
 PARAM FINTI =3.1536E7
 END

INSTAL. LACIO SOLAR

TIME	EP	EG	EBC	EE	COPM	RMPN	FSG	AEE
.000E 00	.0000E 00							
.173E 06	.1551E 10	.1851E 10	.4861E 09	.3204E 10	.2404E 01	.5484E 00	.3262E 00	.1353E 10
.346E 06	.1984E 10	.3841E 10	.9349E 09	.3798E 10	.2333E 01	.4686E 00	.3432E 00	.4267E 08
.517E 06	.3348E 10	.5660E 10	.1415E 09	.4515E 10	.2428E 01	.4734E 00	.4257E 00	.1145E 10
.684E 06	.4476E 10	.7522E 10	.1835E 10	.4943E 10	.2568E 01	.4520E 00	.4752E 00	.2579E 10
.103E 07	.6195E 10	.9499E 10	.2270E 10	.5613E 10	.2516E 01	.4308E 00	.4655E 00	.3886E 10
.121E 07	.7309E 10	.1327E 11	.3157E 10	.6710E 10	.2592E 01	.4296E 00	.5214E 00	.5134E 10
.138E 07	.7721E 10	.1507E 11	.3593E 10	.7348E 10	.2554E 01	.4181E 00	.5124E 00	.7719E 10
.156E 07	.9029E 10	.1694E 11	.4091E 10	.7943E 10	.2555E 01	.4232E 00	.5319E 00	.8995E 10
.173E 07	.1004E 11	.1890E 11	.4506E 10	.8397E 10	.2597E 01	.4162E 00	.5446E 00	.1050E 11
.190E 07	.1046E 11	.2091E 11	.4975E 11	.9159E 10	.2565E 01	.4093E 00	.5331E 00	.1175E 11
.207E 07	.1174E 11	.2276E 11	.5412E 10	.9781E 10	.2567E 01	.4125E 00	.5456E 00	.1298E 11
.225E 07	.1277E 11	.2455E 11	.5842E 10	.1026E 11	.2591E 01	.4081E 00	.5545E 00	.1429E 11
.242E 07	.1311E 11	.2649E 11	.6309E 10	.1083E 11	.2569E 01	.4003E 00	.5475E 00	.1565E 11
.259E 07	.1442E 11	.2842E 11	.6803E 10	.1154E 11	.2566E 01	.4052E 00	.5553E 00	.1687E 11
.276E 07	.1551E 11	.3030E 11	.7244E 10	.1203E 11	.2581E 01	.4030E 00	.5632E 00	.1827E 11
.294E 07	.1589E 11	.3218E 11	.7709E 10	.1264E 11	.2558E 01	.3968E 00	.5563E 00	.1954E 11
.311E 07	.1710E 11	.3392E 11	.8177E 10	.1335E 11	.2557E 01	.3992E 00	.5616E 00	.2056E 11
.328E 07	.1822E 11	.3612E 11	.8667E 10	.1373E 11	.2573E 01	.3978E 00	.5703E 00	.2239E 11
.346E 07	.1861E 11	.3789E 11	.9140E 10	.1429E 11	.2550E 01	.3934E 00	.5656E 00	.2359E 11
.363E 07	.1989E 11	.3976E 11	.9640E 10	.1505E 11	.2551E 01	.3970E 00	.5692E 00	.2470E 11
.380E 07	.2101E 11	.4183E 11	.1011E 11	.1555E 11	.2562E 01	.3962E 00	.5747E 00	.2629E 11
.397E 07	.2134E 11	.4389E 11	.1056E 11	.1649E 11	.2546E 01	.3917E 00	.5642E 00	.2741E 11
.414E 07	.2266E 11	.4559E 11	.1097E 11	.1709E 11	.2545E 01	.3947E 00	.5700E 00	.2849E 11
.432E 07	.2374E 11	.4739E 11	.1142E 11	.1753E 11	.2557E 01	.3931E 00	.5753E 00	.2987E 11
.449E 07	.2414E 11	.4919E 11	.1190E 11	.1808E 11	.2540E 01	.3903E 00	.5720E 00	.3111E 11
.467E 07	.2544E 11	.5106E 11	.1240E 11	.1888E 11	.2538E 01	.3917E 00	.5740E 00	.3218E 11
.484E 07	.2649E 11	.5288E 11	.1279E 11	.1928E 11	.2545E 01	.3901E 00	.5787E 00	.3360E 11
.501E 07	.2685E 11	.5463E 11	.1326E 11	.1972E 11	.2534E 01	.3867E 00	.5741E 00	.3471E 11
.518E 07	.2812E 11	.5664E 11	.1373E 11	.2070E 11	.2533E 01	.3877E 00	.5759E 00	.3593E 11
.536E 07	.2923E 11	.5862E 11	.1422E 11	.2117E 11	.2541E 01	.3868E 00	.5799E 00	.3745E 11
.553E 07	.2957E 11	.6071E 11	.1468E 11	.2206E 11	.2530E 01	.3838E 00	.5728E 00	.3886E 11
.570E 07	.3081E 11	.6268E 11	.1518E 11	.2274E 11	.2530E 01	.3843E 00	.5753E 00	.3993E 11
.588E 07	.3189E 11	.6490E 11	.1571E 11	.2334E 11	.2537E 01	.3833E 00	.5774E 00	.4157E 11
.605E 07	.3226E 11	.6702E 11	.1617E 11	.2418E 11	.2524E 01	.3808E 00	.5716E 00	.4283E 11
.622E 07	.3360E 11	.6908E 11	.1670E 11	.2499E 11	.2523E 01	.3829E 00	.5735E 00	.4409E 11
.639E 07	.3485E 11	.7107E 11	.1718E 11	.2552E 11	.2527E 01	.3833E 00	.5773E 00	.4555E 11
.657E 07	.3522E 11	.7284E 11	.1765E 11	.2612E 11	.2517E 01	.3811E 00	.5742E 00	.4673E 11
.674E 07	.3659E 11	.7491E 11	.1816E 11	.2693E 11	.2517E 01	.3828E 00	.5761E 00	.4798E 11
.691E 07	.3774E 11	.7681E 11	.1863E 11	.2739E 11	.2524E 01	.3825E 00	.5795E 00	.4942E 11
.708E 07	.3811E 11	.7880E 11	.1907E 11	.2800E 11	.2515E 01	.3802E 00	.5764E 00	.5080E 11
.726E 07	.3930E 11	.8059E 11	.1950E 11	.2869E 11	.2517E 01	.3809E 00	.5763E 00	.5170E 11
.743E 07	.4043E 11	.8263E 11	.1998E 11	.2935E 11	.2523E 01	.3808E 00	.5794E 00	.5328E 11
.760E 07	.4076E 11	.8465E 11	.2044E 11	.3028E 11	.2515E 01	.3785E 00	.5738E 00	.5437E 11
.778E 07	.4213E 11	.8663E 11	.2097E 11	.3102E 11	.2515E 01	.3802E 00	.5746E 00	.5562E 11
.795E 07	.4323E 11	.8843E 11	.2133E 11	.3142E 11	.2520E 01	.3798E 00	.5791E 00	.5701E 11
.812E 07	.4358E 11	.9040E 11	.2184E 11	.3210E 11	.2514E 01	.3780E 00	.5758E 00	.5830E 11
.829E 07	.4464E 11	.9230E 11	.2234E 11	.3268E 11	.2516E 01	.3790E 00	.5771E 00	.5944E 11
.847E 07	.4597E 11	.9424E 11	.2280E 11	.3333E 11	.2520E 01	.3790E 00	.5797E 00	.6091E 11

INSTAL. LACIO SOLAR

TIME	EP	EG	EBC	EE	COPM	RMPN	FSG	AEE
.259E 08	.1473E 12	.2913E 12	.6714E 11	.8826E 11	.2684E 01	.3921E 00	.6257E 00	.2030E 12
.261E 08	.1483E 12	.2931E 12	.6750E 11	.8863E 11	.2687E 01	.3917E 00	.6259E 00	.2045E 12
.263E 08	.1493E 12	.2951E 12	.6800E 11	.8925E 11	.2686E 01	.3920E 00	.6259E 00	.2037E 12
.264E 08	.1505E 12	.2976E 12	.6838E 11	.8955E 11	.2688E 01	.3921E 00	.6268E 00	.2072E 12
.266E 08	.1513E 12	.2990E 12	.6862E 11	.9007E 11	.2690E 01	.3918E 00	.6267E 00	.2090E 12
.268E 08	.1524E 12	.3009E 12	.6934E 11	.9067E 11	.2689E 01	.3922E 00	.6267E 00	.2102E 12
.270E 08	.1537E 12	.3028E 12	.6972E 11	.9103E 11	.2671E 01	.3929E 00	.6280E 00	.2118E 12
.271E 08	.1544E 12	.3046E 12	.7011E 11	.9137E 11	.2673E 01	.3922E 00	.6283E 00	.2132E 12
.273E 08	.1555E 12	.3065E 12	.7060E 11	.9204E 11	.2692E 01	.3926E 00	.6282E 00	.2144E 12
.275E 08	.1567E 12	.3085E 12	.7103E 11	.9243E 11	.2694E 01	.3930E 00	.6292E 00	.2161E 12
.276E 08	.1576E 12	.3103E 12	.7140E 11	.9280E 11	.2696E 01	.3928E 00	.6295E 00	.2175E 12
.278E 08	.1587E 12	.3122E 12	.7190E 11	.9345E 11	.2694E 01	.3931E 00	.6294E 00	.2186E 12
.280E 08	.1600E 12	.3142E 12	.7229E 11	.9391E 11	.2697E 01	.3933E 00	.6301E 00	.2203E 12
.282E 08	.1607E 12	.3160E 12	.7267E 11	.9435E 11	.2699E 01	.3929E 00	.6300E 00	.2216E 12
.283E 08	.1617E 12	.3179E 12	.7312E 11	.9498E 11	.2698E 01	.3933E 00	.6300E 00	.2230E 12
.285E 08	.1630E 12	.3198E 12	.7350E 11	.9533E 11	.2699E 01	.3936E 00	.6308E 00	.2244E 12
.287E 08	.1637E 12	.3217E 12	.7371E 11	.9583E 11	.2702E 01	.3931E 00	.6308E 00	.2259E 12
.289E 08	.1647E 12	.3240E 12	.7443E 11	.9668E 11	.2700E 01	.3935E 00	.6301E 00	.2273E 12
.290E 08	.1660E 12	.3257E 12	.7482E 11	.9713E 11	.2702E 01	.3938E 00	.6309E 00	.2286E 12
.292E 08	.1669E 12	.3278E 12	.7522E 11	.9754E 11	.2704E 01	.3935E 00	.6310E 00	.2303E 12
.294E 08	.1678E 12	.3298E 12	.7572E 11	.9829E 11	.2702E 01	.3938E 00	.6306E 00	.2315E 12
.295E 08	.1691E 12	.3318E 12	.7615E 11	.9870E 11	.2704E 01	.3941E 00	.6314E 00	.2331E 12
.297E 08	.1690E 12	.3337E 12	.7654E 11	.9912E 11	.2706E 01	.3938E 00	.6314E 00	.2345E 12
.299E 08	.1708E 12	.3354E 12	.7701E 11	.9964E 11	.2704E 01	.3941E 00	.6315E 00	.2358E 12
.301E 08	.1720E 12	.3372E 12	.7742E 11	.1000E 12	.2706E 01	.3943E 00	.6323E 00	.2372E 12
.302E 08	.1727E 12	.3390E 12	.7780E 11	.1005E 12	.2708E 01	.3939E 00	.6322E 00	.2385E 12
.304E 08	.1737E 12	.3409E 12	.7827E 11	.1009E 12	.2706E 01	.3944E 00	.6326E 00	.2400E 12
.306E 08	.1750E 12	.3430E 12	.7879E 11	.1014E 12	.2707E 01	.3947E 00	.6331E 00	.2416E 12
.308E 08	.1757E 12	.3448E 12	.7919E 11	.1018E 12	.2708E 01	.3944E 00	.6333E 00	.2430E 12
.309E 08	.1767E 12	.3467E 12	.7970E 11	.1026E 12	.2706E 01	.3947E 00	.6327E 00	.2441E 12
.311E 08	.1779E 12	.3486E 12	.8006E 11	.1029E 12	.2708E 01	.3949E 00	.6334E 00	.2456E 12
.313E 08	.1786E 12	.3506E 12	.8049E 11	.1033E 12	.2709E 01	.3945E 00	.6335E 00	.2473E 12
.314E 08	.1795E 12	.3526E 12	.8099E 11	.1043E 12	.2707E 01	.3947E 00	.6324E 00	.2483E 12

Figura 11. Simulació del comportament anual. Disseny inicial.

PARAM CAUDA=3., PBH=3000.
END

INSTAL. LACIO SOLAR

TIME	EP	EG	EBC	EE	COPM	RMPN	FSQ	AEE
.000E 00	.0000E 00							
.173E 06	.1385E 10	.1851E 10	.4963E 09	.3370E 10	.2442E 01	.3605E 00	.3199E 00	.1519E 10
.346E 06	.2023E 10	.3841E 10	.9290E 09	.4125E 10	.2364E 01	.4778E 00	.3291E 00	.2840E 09
.518E 06	.3416E 10	.5658E 10	.1374E 10	.5019E 10	.2442E 01	.4621E 00	.4030E 00	.6387E 09
.691E 06	.4559E 10	.7983E 10	.1814E 10	.5610E 10	.2597E 01	.4596E 00	.4483E 00	.1973E 10
.864E 06	.4999E 10	.9615E 10	.2265E 10	.6386E 10	.2598E 01	.4370E 00	.4371E 00	.3229E 10
.104E 07	.6331E 10	.1154E 11	.2778E 10	.7263E 10	.2561E 01	.4451E 00	.4657E 00	.4273E 10
.121E 07	.7492E 10	.1352E 11	.3171E 10	.7826E 10	.2618E 01	.4387E 00	.4891E 00	.5690E 10
.138E 07	.7951E 10	.1564E 11	.3636E 10	.8858E 10	.2573E 01	.4299E 00	.4730E 00	.6782E 10
.156E 07	.9337E 10	.1752E 11	.4109E 10	.9719E 10	.2574E 01	.4370E 00	.4900E 00	.7806E 10
.172E 07	.1051E 11	.1961E 11	.4545E 10	.1031E 11	.2613E 01	.4342E 00	.5049E 00	.9304E 10
.190E 07	.1092E 11	.2174E 11	.5037E 10	.1130E 11	.2581E 01	.4255E 00	.4916E 00	.1044E 11
.207E 07	.1225E 11	.2366E 11	.5517E 10	.1206E 11	.2582E 01	.4287E 00	.5040E 00	.1160E 11
.225E 07	.1335E 11	.2553E 11	.5967E 10	.1272E 11	.2607E 01	.4250E 00	.5121E 00	.1281E 11
.242E 07	.1374E 11	.2744E 11	.6427E 10	.1340E 11	.2580E 01	.4183E 00	.5063E 00	.1403E 11
.259E 07	.1503E 11	.2920E 11	.6898E 10	.1428E 11	.2582E 01	.4212E 00	.5128E 00	.1492E 11
.276E 07	.1617E 11	.3115E 11	.7329E 10	.1495E 11	.2598E 01	.4183E 00	.5197E 00	.1620E 11
.294E 07	.1651E 11	.3327E 11	.7775E 10	.1592E 11	.2581E 01	.4114E 00	.5091E 00	.1735E 11
.311E 07	.1784E 11	.3522E 11	.8256E 10	.1684E 11	.2578E 01	.4136E 00	.5143E 00	.1837E 11
.328E 07	.1900E 11	.3718E 11	.8700E 10	.1745E 11	.2590E 01	.4128E 00	.5213E 00	.1974E 11
.346E 07	.1938E 11	.3905E 11	.9202E 10	.1828E 11	.2571E 01	.4080E 00	.5147E 00	.2077E 11
.363E 07	.2071E 11	.4102E 11	.9694E 10	.1923E 11	.2570E 01	.4099E 00	.5186E 00	.2179E 11
.380E 07	.2189E 11	.4302E 11	.1014E 11	.1995E 11	.2580E 01	.4092E 00	.5232E 00	.2307E 11
.397E 07	.2226E 11	.4523E 11	.1063E 11	.2097E 11	.2564E 01	.4045E 00	.5149E 00	.2426E 11
.415E 07	.2350E 11	.4719E 11	.1110E 11	.2196E 11	.2566E 01	.4050E 00	.5169E 00	.2524E 11
.432E 07	.2460E 11	.4897E 11	.1149E 11	.2257E 11	.2574E 01	.4032E 00	.5215E 00	.2640E 11
.449E 07	.2495E 11	.5086E 11	.1197E 11	.2355E 11	.2561E 01	.3991E 00	.5144E 00	.2731E 11
.467E 07	.2628E 11	.5292E 11	.1248E 11	.2442E 11	.2562E 01	.4007E 00	.5184E 00	.2850E 11
.484E 07	.2738E 11	.5487E 11	.1293E 11	.2508E 11	.2571E 01	.3992E 00	.5220E 00	.2979E 11
.501E 07	.2778E 11	.5666E 11	.1342E 11	.2572E 11	.2556E 01	.3961E 00	.5192E 00	.3093E 11
.518E 07	.2910E 11	.5871E 11	.1389E 11	.2670E 11	.2559E 01	.3979E 00	.5215E 00	.3201E 11
.536E 07	.3024E 11	.6066E 11	.1434E 11	.2742E 11	.2567E 01	.3972E 00	.5245E 00	.3325E 11
.553E 07	.3061E 11	.6263E 11	.1483E 11	.2829E 11	.2554E 01	.3942E 00	.5200E 00	.3438E 11
.570E 07	.3193E 11	.6467E 11	.1532E 11	.2924E 11	.2554E 01	.3958E 00	.5220E 00	.3543E 11
.588E 07	.3310E 11	.6665E 11	.1579E 11	.2996E 11	.2560E 01	.3953E 00	.5249E 00	.3669E 11
.605E 07	.3348E 11	.6874E 11	.1628E 11	.3097E 11	.2549E 01	.3928E 00	.5195E 00	.3777E 11
.622E 07	.3474E 11	.7051E 11	.1676E 11	.3187E 11	.2549E 01	.3936E 00	.5216E 00	.3864E 11
.639E 07	.3584E 11	.7247E 11	.1719E 11	.3256E 11	.2556E 01	.3922E 00	.5239E 00	.3991E 11
.657E 07	.3615E 11	.7425E 11	.1765E 11	.3337E 11	.2548E 01	.3891E 00	.5200E 00	.4088E 11
.674E 07	.3746E 11	.7617E 11	.1813E 11	.3419E 11	.2548E 01	.3904E 00	.5231E 00	.4202E 11
.691E 07	.3863E 11	.7807E 11	.1858E 11	.3486E 11	.2553E 01	.3900E 00	.5237E 00	.4322E 11
.708E 07	.3897E 11	.7991E 11	.1907E 11	.3564E 11	.2544E 01	.3873E 00	.5223E 00	.4426E 11
.726E 07	.4027E 11	.8181E 11	.1953E 11	.3659E 11	.2544E 01	.3883E 00	.5240E 00	.4523E 11
.743E 07	.4138E 11	.8356E 11	.1998E 11	.3731E 11	.2552E 01	.3870E 00	.5259E 00	.4623E 11
.760E 07	.4167E 11	.8528E 11	.2039E 11	.3786E 11	.2544E 01	.3844E 00	.5240E 00	.4742E 11
.778E 07	.4299E 11	.8726E 11	.2086E 11	.3899E 11	.2544E 01	.3857E 00	.5244E 00	.4827E 11
.795E 07	.4408E 11	.8908E 11	.2129E 11	.3967E 11	.2550E 01	.3851E 00	.5263E 00	.4941E 11
.812E 07	.4446E 11	.9103E 11	.2174E 11	.4068E 11	.2544E 01	.3832E 00	.5222E 00	.5035E 11
.829E 07	.4579E 11	.9293E 11	.2229E 11	.4143E 11	.2544E 01	.3847E 00	.5250E 00	.5150E 11
.847E 07	.4700E 11	.9491E 11	.2272E 11	.4212E 11	.2548E 01	.3854E 00	.5274E 00	.5279E 11

INSTAL. LACIO SOLAR

TIME	EP	EG	EBC	EE	COPM	RMPN	FSQ	AEE
.259E 08	.1507E 12	.2921E 12	.6679E 11	.1121E 12	.2713E 01	.3994E 00	.5735E 00	.1800E 12
.261E 08	.1515E 12	.2942E 12	.6732E 11	.1126E 12	.2715E 01	.3990E 00	.5736E 00	.1815E 12
.263E 08	.1525E 12	.2961E 12	.6785E 11	.1135E 12	.2714E 01	.3993E 00	.5735E 00	.1827E 12
.264E 08	.1537E 12	.2982E 12	.6829E 11	.1141E 12	.2716E 01	.3977E 00	.5743E 00	.1841E 12
.266E 08	.1547E 12	.3001E 12	.6866E 11	.1149E 12	.2718E 01	.3992E 00	.5746E 00	.1856E 12
.270E 08	.1558E 12	.3020E 12	.6914E 11	.1154E 12	.2716E 01	.3977E 00	.5744E 00	.1866E 12
.271E 08	.1571E 12	.3039E 12	.6953E 11	.1160E 12	.2719E 01	.3999E 00	.5753E 00	.1879E 12
.273E 08	.1590E 12	.3078E 12	.7039E 11	.1174E 12	.2720E 01	.4000E 00	.5751E 00	.1904E 12
.275E 08	.1603E 12	.3098E 12	.7080E 11	.1180E 12	.2722E 01	.4002E 00	.5759E 00	.1918E 12
.276E 08	.1610E 12	.3116E 12	.7118E 11	.1186E 12	.2724E 01	.3977E 00	.5739E 00	.1931E 12
.278E 08	.1621E 12	.3135E 12	.7164E 11	.1194E 12	.2723E 01	.4001E 00	.5798E 00	.1941E 12
.280E 08	.1633E 12	.3153E 12	.7201E 11	.1199E 12	.2725E 01	.4001E 00	.5765E 00	.1954E 12
.282E 08	.1640E 12	.3174E 12	.7244E 11	.1205E 12	.2727E 01	.3998E 00	.5765E 00	.1969E 12
.283E 08	.1651E 12	.3193E 12	.7274E 11	.1213E 12	.2726E 01	.4001E 00	.5765E 00	.1980E 12
.285E 08	.1663E 12	.3212E 12	.7332E 11	.1218E 12	.2728E 01	.4003E 00	.5773E 00	.1994E 12
.287E 08	.1672E 12	.3231E 12	.7373E 11	.1224E 12	.2730E 01	.4001E 00	.5773E 00	.2007E 12
.289E 08	.1682E 12	.3250E 12	.7424E 11	.1231E 12	.2728E 01	.4005E 00	.5774E 00	.2019E 12
.290E 08	.1696E 12	.3271E 12	.7465E 11	.1238E 12	.2730E 01	.4009E 00	.5780E 00	.2033E 12
.292E 08	.1704E 12	.3291E 12	.7505E 11	.1244E 12	.2731E 01	.4006E 00	.5779E 00	.2047E 12
.294E 08	.1714E 12	.3308E 12	.7551E 11	.1251E 12	.2729E 01	.4009E 00	.5781E 00	.2058E 12
.295E 08	.1726E 12	.3326E 12	.7588E 11	.1256E 12	.2732E 01	.4011E 00	.5788E 00	.2070E 12
.297E 08	.1734E 12	.3345E 12	.7628E 11	.1261E 12	.2734E 01	.4008E 00	.5789E 00	.2084E 12
.299E 08	.1744E 12	.3363E 12	.7675E 11	.1269E 12	.2732E 01	.4011E 00	.5787E 00	.2094E 12
.301E 08	.1757E 12	.3385E 12	.7721E 11	.1276E 12	.2734E 01	.4014E 00	.5793E 00	.2107E 12
.302E 08	.1765E 12	.3406E 12	.7767E 11	.1282E 12	.2735E 01	.4013E 00	.5793E 00	.2124E 12
.304E 08	.1776E 12	.3427E 12	.7818E 11	.1293E 12	.2733E 01	.4017E 00	.5786E 00	.2134E 12
.306E 08	.1788E 12	.3446E 12	.7859E 11	.1300E 12	.2734E 01	.4020E 00	.5791E 00	.2146E 12
.308E 08	.1795E 12	.3465E 12	.7893E 11	.1304E 12	.2735E 01	.4016E 00	.5792E 00	.2161E 12
.309E 08	.1805E 12	.3483E 12	.7937E 11	.1314E 12	.2733E 01	.4020E 00	.5787E 00	.2169E 12
.311E 08	.1818E 12	.3505E 12	.7988E 11	.1321E 12	.2735E 01	.4022E 00	.5791E 00	.2184E 12
.313E 08	.1825E 12	.3525E 12	.8026E 11	.1327E 12	.2736E 01	.4019E 00	.5789E 00	.2198E 12
.314E 08	.1835E 12	.3545E 12	.8074E 11	.1337E 12	.2733E 01	.4022E 00	.5785E 00	.2209E 12

Figura 12. Simulació del comportament anual. Augment de la circulació d'aigua pels panels.

PARAM 5 = 100.
END

INSTAL. LACIO SOLAR

TIME	EP	EG	EBC	EE	COPM	RMPN	FSG	AEE
.000E 00	.0000E 00							
.170E 06	.2435E 10	.1912E 10	.5042E 09	.2659E 10	.3133E 01	.4279E 00	.4784E 00	.7434E 09
.346E 06	.2906E 10	.3874E 10	.9435E 09	.3189E 10	.3005E 01	.3409E 00	.4768E 00	.6845E 09
.518E 06	.4875E 10	.5794E 10	.1331E 10	.3690E 10	.3121E 01	.3445E 00	.5692E 00	.2104E 10
.691E 06	.6488E 10	.7891E 10	.1610E 10	.4091E 10	.3243E 01	.3280E 00	.6133E 00	.3800E 10
.864E 06	.7004E 10	.9845E 10	.2050E 10	.4736E 10	.3135E 01	.3100E 00	.5966E 00	.5110E 10
.104E 07	.8867E 10	.1180E 11	.2399E 10	.5225E 10	.3169E 01	.3134E 00	.6292E 00	.6573E 10
.121E 07	.1036E 11	.1364E 11	.2661E 10	.5851E 10	.3246E 01	.3046E 00	.6390E 00	.7790E 10
.138E 07	.1062E 11	.1556E 11	.3062E 10	.6367E 10	.3175E 01	.2934E 00	.6296E 00	.9192E 10
.155E 07	.1256E 11	.1754E 11	.3433E 10	.6971E 10	.3183E 01	.2954E 00	.6431E 00	.1057E 11
.173E 07	.1406E 11	.1966E 11	.3757E 10	.7436E 10	.3231E 01	.2913E 00	.6541E 00	.1222E 11
.190E 07	.1452E 11	.2188E 11	.4183E 10	.8067E 10	.3178E 01	.2838E 00	.6428E 00	.1381E 11
.207E 07	.1632E 11	.2391E 11	.4551E 10	.9079E 10	.3185E 01	.2869E 00	.6426E 00	.1483E 11
.225E 07	.1763E 11	.2581E 11	.4833E 10	.9557E 10	.3236E 01	.2813E 00	.6485E 00	.1625E 11
.242E 07	.1807E 11	.2772E 11	.5289E 10	.1013E 11	.3180E 01	.2755E 00	.6409E 00	.1759E 11
.259E 07	.1996E 11	.2983E 11	.5700E 10	.1085E 11	.3189E 01	.2796E 00	.6477E 00	.1898E 11
.276E 07	.2137E 11	.3163E 11	.5965E 10	.1129E 11	.3223E 01	.2771E 00	.6545E 00	.2036E 11
.294E 07	.2168E 11	.3343E 11	.6381E 10	.1178E 11	.3182E 01	.2709E 00	.6479E 00	.2165E 11
.311E 07	.2352E 11	.3544E 11	.6793E 10	.1237E 11	.3186E 01	.2736E 00	.6554E 00	.2307E 11
.328E 07	.2485E 11	.3742E 11	.7081E 10	.1287E 11	.3210E 01	.2709E 00	.6589E 00	.2455E 11
.345E 07	.2528E 11	.3912E 11	.7520E 10	.1343E 11	.3175E 01	.2672E 00	.6531E 00	.2569E 11
.363E 07	.2698E 11	.4102E 11	.7891E 10	.1402E 11	.3180E 01	.2687E 00	.6579E 00	.2679E 11
.380E 07	.2834E 11	.4283E 11	.8192E 11	.1449E 11	.3209E 01	.2668E 00	.6618E 00	.2834E 11
.397E 07	.2867E 11	.4457E 11	.8621E 11	.1501E 11	.3181E 01	.2627E 00	.6563E 00	.2956E 11
.415E 07	.3042E 11	.4649E 11	.8961E 10	.1573E 11	.3179E 01	.2641E 00	.6592E 00	.3075E 11
.432E 07	.3171E 11	.4840E 11	.9265E 10	.1615E 11	.3199E 01	.2618E 00	.6626E 00	.3226E 11
.449E 07	.3211E 11	.5016E 11	.9721E 10	.1673E 11	.3171E 01	.2587E 00	.6574E 00	.3343E 11
.467E 07	.3387E 11	.5195E 11	.1011E 11	.1731E 11	.3174E 01	.2604E 00	.6618E 00	.3464E 11
.484E 07	.3515E 11	.5381E 11	.1043E 11	.1776E 11	.3193E 01	.2585E 00	.6643E 00	.3605E 11
.501E 07	.3544E 11	.5569E 11	.1084E 11	.1830E 11	.3168E 01	.2548E 00	.6595E 00	.3739E 11
.518E 07	.3730E 11	.5782E 11	.1126E 11	.1912E 11	.3167E 01	.2569E 00	.6611E 00	.3870E 11
.536E 07	.3853E 11	.5967E 11	.1151E 11	.1985E 11	.3184E 01	.2545E 00	.6600E 00	.3982E 11
.553E 07	.3897E 11	.6164E 11	.1197E 11	.2038E 11	.3159E 01	.2522E 00	.6566E 00	.4126E 11
.570E 07	.4045E 11	.6353E 11	.1235E 11	.2119E 11	.3163E 01	.2533E 00	.6574E 00	.4234E 11
.588E 07	.4195E 11	.6531E 11	.1265E 11	.2158E 11	.3179E 01	.2518E 00	.6603E 00	.4373E 11
.605E 07	.4229E 11	.6731E 11	.1310E 11	.2219E 11	.3157E 01	.2493E 00	.6558E 00	.4512E 11
.622E 07	.4405E 11	.6927E 11	.1353E 11	.2296E 11	.3160E 01	.2506E 00	.6573E 00	.4631E 11
.639E 07	.4539E 11	.7119E 11	.1383E 11	.2344E 11	.3174E 01	.2494E 00	.6594E 00	.4775E 11
.657E 07	.4579E 11	.7300E 11	.1428E 11	.2395E 11	.3153E 01	.2476E 00	.6566E 00	.4906E 11
.674E 07	.4751E 11	.7485E 11	.1471E 11	.2450E 11	.3159E 01	.2487E 00	.6598E 00	.5035E 11
.691E 07	.4878E 11	.7677E 11	.1499E 11	.2492E 11	.3171E 01	.2473E 00	.6619E 00	.5185E 11
.708E 07	.4913E 11	.7858E 11	.1542E 11	.2548E 11	.3159E 01	.2452E 00	.6585E 00	.5310E 11
.726E 07	.5085E 11	.8056E 11	.1583E 11	.2610E 11	.3159E 01	.2446E 00	.6608E 00	.5446E 11
.743E 07	.5206E 11	.8233E 11	.1615E 11	.2660E 11	.3170E 01	.2451E 00	.6618E 00	.5573E 11
.760E 07	.5249E 11	.8420E 11	.1657E 11	.2713E 11	.3153E 01	.2436E 00	.6592E 00	.5707E 11
.778E 07	.5431E 11	.8659E 11	.1702E 11	.2787E 11	.3154E 01	.2455E 00	.6609E 00	.5871E 11
.795E 07	.5562E 11	.8860E 11	.1733E 11	.2874E 11	.3162E 01	.2446E 00	.6593E 00	.5986E 11
.812E 07	.5601E 11	.9078E 11	.1777E 11	.2945E 11	.3152E 01	.2430E 00	.6554E 00	.6132E 11
.829E 07	.5776E 11	.9263E 11	.1814E 11	.3015E 11	.3156E 01	.2445E 00	.6571E 00	.6250E 11
.847E 07	.5907E 11	.9493E 11	.1844E 11	.3074E 11	.3167E 01	.2437E 00	.6577E 00	.6379E 11

INSTAL. LACIO SOLAR

TIME	EP	EG	EBC	EE	COPM	RMPN	FSG	AEE
.237E 08	.2006E 12	.2885E 12	.5137E 11	.8342E 11	.3219E 01	.2661E 00	.7063E 00	.2051E 12
.261E 08	.2016E 12	.2905E 12	.5169E 11	.8364E 11	.3221E 01	.2657E 00	.7063E 00	.2066E 12
.263E 08	.2032E 12	.2924E 12	.5210E 11	.8442E 11	.3217E 01	.2663E 00	.7065E 00	.2080E 12
.264E 08	.2050E 12	.2942E 12	.5232E 11	.8481E 11	.3219E 01	.2664E 00	.7074E 00	.2074E 12
.268E 08	.2060E 12	.2961E 12	.5264E 11	.8530E 11	.3220E 01	.2662E 00	.7072E 00	.2106E 12
.270E 08	.2076E 12	.2980E 12	.5304E 11	.8586E 11	.3217E 01	.2666E 00	.7074E 00	.2121E 12
.271E 08	.2093E 12	.2999E 12	.5323E 11	.8618E 11	.3220E 01	.2668E 00	.7084E 00	.2137E 12
.273E 08	.2104E 12	.3019E 12	.5358E 11	.8664E 11	.3221E 01	.2666E 00	.7083E 00	.2153E 12
.275E 08	.2121E 12	.3039E 12	.5403E 11	.8727E 11	.3217E 01	.2671E 00	.7085E 00	.2166E 12
.276E 08	.2139E 12	.3059E 12	.5426E 11	.8762E 11	.3220E 01	.2673E 00	.7094E 00	.2182E 12
.278E 08	.2149E 12	.3077E 12	.5458E 11	.8806E 11	.3221E 01	.2671E 00	.7093E 00	.2197E 12
.280E 08	.2165E 12	.3097E 12	.5498E 11	.8860E 11	.3218E 01	.2676E 00	.7096E 00	.2211E 12
.282E 08	.2182E 12	.3116E 12	.5520E 11	.8897E 11	.3221E 01	.2677E 00	.7104E 00	.2226E 12
.283E 08	.2194E 12	.3134E 12	.5552E 11	.8949E 11	.3222E 01	.2676E 00	.7103E 00	.2239E 12
.285E 08	.2207E 12	.3154E 12	.5595E 11	.9003E 11	.3220E 01	.2680E 00	.7105E 00	.2254E 12
.287E 08	.2226E 12	.3172E 12	.5614E 11	.9037E 11	.3222E 01	.2681E 00	.7113E 00	.2269E 12
.289E 08	.2237E 12	.3191E 12	.5647E 11	.9080E 11	.3224E 01	.2679E 00	.7113E 00	.2283E 12
.290E 08	.2253E 12	.3210E 12	.5690E 11	.9141E 11	.3220E 01	.2684E 00	.7114E 00	.2276E 12
.292E 08	.2270E 12	.3230E 12	.5714E 11	.9179E 11	.3223E 01	.2685E 00	.7121E 00	.2312E 12
.294E 08	.2296E 12	.3270E 12	.5745E 11	.9220E 11	.3224E 01	.2683E 00	.7120E 00	.2327E 12
.295E 08	.2313E 12	.3289E 12	.5815E 11	.9334E 11	.3224E 01	.2689E 00	.7124E 00	.2355E 12
.297E 08	.2323E 12	.3308E 12	.5846E 11	.9383E 11	.3225E 01	.2687E 00	.7123E 00	.2370E 12
.299E 08	.2339E 12	.3329E 12	.5889E 11	.9442E 11	.3222E 01	.2692E 00	.7124E 00	.2385E 12
.301E 08	.2357E 12	.3350E 12	.5917E 11	.9485E 11	.3224E 01	.2695E 00	.7130E 00	.2401E 12
.302E 08	.2367E 12	.3369E 12	.5948E 11	.9529E 11	.3225E 01	.2693E 00	.7130E 00	.2416E 12
.304E 08	.2382E 12	.3389E 12	.5989E 11	.9593E 11	.3221E 01	.2697E 00	.7129E 00	.2429E 12
.306E 08	.2398E 12	.3406E 12	.6013E 11	.9638E 11	.3225E 01	.2697E 00	.7133E 00	.2443E 12
.308E 08	.2407E 12	.3424E 12	.6043E 11	.9677E 11	.3227E 01	.2694E 00	.7132E 00	.2456E 12
.309E 08	.2422E 12	.3442E 12	.6086E 11	.9736E 11	.3224E 01	.2698E 00	.7133E 00	.2468E 12
.311E 08	.2436E 12	.3461E 12	.6111E 11	.9776E 11	.3227E 01	.2700E 00	.7138E 00	.2483E 12
.313E 08	.2448E 12	.3479E 12	.6141E 11	.9822E 11	.3227E 01	.2698E 00	.7137E 00	.2497E 12
.314E 08	.2463E 12	.3499E 12	.6182E 11	.9889E 11	.3225E 01	.2702E 00	.7135E 00	.2510E 12

Figura 13. Simulació del comportament anual. Doble superfície de panels.

PARAM MA1=10000, . MA2=20000.
END

INSTAL. LACIÓ SOLAR

TIME	EP	EG	EBC	EE	COPM	RMPN	FSG	AEE
.000E 00	.0000E 00							
.173E 06	.1736E 10	.1868E 10	.4559E 09	.3935E 10	.2023E 01	.604BE 00	.3061E 00	.-2067E 10
.344E 06	.2092E 10	.3936E 10	.9386E 09	.6536E 10	.2138E 01	.487BE 00	.2425E 00	.-2599E 10
.515E 06	.3453E 10	.5822E 10	.1471E 10	.7571E 10	.2277E 01	.4820E 00	.3132E 00	.-1750E 10
.687E 06	.4559E 10	.7593E 10	.1862E 10	.7982E 10	.2396E 01	.4539E 00	.3635E 00	.-3883E 09
.859E 06	.4775E 10	.9504E 10	.2304E 10	.8361E 10	.2432E 01	.4154E 00	.3635E 00	.1143E 10
.104E 07	.5954E 10	.1132E 11	.2813E 10	.8889E 10	.2453E 01	.4135E 00	.4011E 00	.2433E 10
.121E 07	.7017E 10	.1335E 11	.3295E 10	.9341E 10	.2514E 01	.4072E 00	.4290E 00	.4007E 10
.138E 07	.7335E 10	.1512E 11	.3750E 10	.9842E 10	.2502E 01	.3928E 00	.4270E 00	.5283E 10
.156E 07	.8490E 10	.1708E 11	.4260E 10	.1030E 11	.2501E 01	.4045E 00	.4576E 00	.6781E 10
.173E 07	.9874E 10	.1892E 11	.4659E 10	.1078E 11	.2537E 01	.4054E 00	.4780E 00	.8133E 10
.190E 07	.1001E 11	.2088E 11	.5167E 10	.1128E 11	.2524E 01	.3888E 00	.4702E 00	.9600E 10
.207E 07	.1141E 11	.2272E 11	.5676E 10	.1181E 11	.2515E 01	.3983E 00	.4913E 00	.1091E 11
.225E 07	.1253E 11	.2456E 11	.6179E 10	.1234E 11	.2526E 01	.3985E 00	.5037E 00	.1222E 11
.242E 07	.1265E 11	.2628E 11	.6526E 10	.1270E 11	.2524E 01	.3847E 00	.4989E 00	.1357E 11
.259E 07	.1398E 11	.2840E 11	.7053E 10	.1340E 11	.2520E 01	.3919E 00	.5105E 00	.1500E 11
.276E 07	.1515E 11	.3033E 11	.7613E 10	.1395E 11	.2530E 01	.3919E 00	.5205E 00	.1638E 11
.294E 07	.1546E 11	.3234E 11	.8106E 10	.1443E 11	.2514E 01	.3859E 00	.5173E 00	.1792E 11
.311E 07	.1683E 11	.3420E 11	.8616E 10	.1505E 11	.2507E 01	.3909E 00	.5279E 00	.1915E 11
.328E 07	.1800E 11	.3606E 11	.9091E 10	.1555E 11	.2517E 01	.3911E 00	.5365E 00	.2051E 11
.346E 07	.1828E 11	.3831E 11	.9562E 10	.1645E 11	.2507E 01	.3856E 00	.5263E 00	.2186E 11
.363E 07	.1966E 11	.4034E 11	.1008E 11	.1691E 11	.2501E 01	.3904E 00	.5376E 00	.2344E 11
.380E 07	.2088E 11	.4254E 11	.1062E 11	.1731E 11	.2505E 01	.3913E 00	.5468E 00	.2523E 11
.397E 07	.2123E 11	.4466E 11	.1111E 11	.1835E 11	.2492E 01	.3873E 00	.5363E 00	.2631E 11
.415E 07	.2266E 11	.4679E 11	.1161E 11	.1936E 11	.2466E 01	.3918E 00	.5392E 00	.2743E 11
.432E 07	.2393E 11	.4870E 11	.1212E 11	.1985E 11	.2498E 01	.3924E 00	.5465E 00	.2885E 11
.449E 07	.2412E 11	.5066E 11	.1259E 11	.2031E 11	.2491E 01	.3857E 00	.5428E 00	.3034E 11
.467E 07	.2547E 11	.5273E 11	.1311E 11	.2101E 11	.2490E 01	.3889E 00	.5480E 00	.3171E 11
.484E 07	.2669E 11	.5456E 11	.1357E 11	.2151E 11	.2496E 01	.3899E 00	.5537E 00	.3305E 11
.501E 07	.2796E 11	.5624E 11	.1408E 11	.2203E 11	.2492E 01	.3853E 00	.5503E 00	.3421E 11
.518E 07	.2838E 11	.5840E 11	.1461E 11	.2259E 11	.2488E 01	.3891E 00	.5568E 00	.3581E 11
.535E 07	.2962E 11	.6030E 11	.1507E 11	.2310E 11	.2495E 01	.3894E 00	.5618E 00	.3719E 11
.553E 07	.2985E 11	.6197E 11	.1553E 11	.2362E 11	.2488E 01	.3837E 00	.5582E 00	.3835E 11
.570E 07	.3118E 11	.6396E 11	.1604E 11	.2425E 11	.2486E 01	.3859E 00	.5625E 00	.3971E 11
.588E 07	.3230E 11	.6578E 11	.1659E 11	.2480E 11	.2492E 01	.3859E 00	.5663E 00	.4098E 11
.605E 07	.3255E 11	.6769E 11	.1702E 11	.2524E 11	.2488E 01	.3808E 00	.5631E 00	.4244E 11
.622E 07	.3392E 11	.6959E 11	.1754E 11	.2579E 11	.2487E 01	.3837E 00	.5681E 00	.4381E 11
.639E 07	.3516E 11	.7157E 11	.1801E 11	.2629E 11	.2490E 01	.3844E 00	.5722E 00	.4528E 11
.657E 07	.3539E 11	.7363E 11	.1851E 11	.2671E 11	.2497E 01	.3803E 00	.5699E 00	.4692E 11
.673E 07	.3672E 11	.7562E 11	.1902E 11	.2764E 11	.2486E 01	.3817E 00	.5706E 00	.4798E 11
.691E 07	.3784E 11	.7761E 11	.1952E 11	.2818E 11	.2490E 01	.3814E 00	.5732E 00	.4944E 11
.708E 07	.3810E 11	.7952E 11	.2002E 11	.2859E 11	.2486E 01	.3781E 00	.5713E 00	.5093E 11
.726E 07	.3959E 11	.8168E 11	.2053E 11	.2928E 11	.2484E 01	.3812E 00	.5749E 00	.5240E 11
.743E 07	.4077E 11	.8373E 11	.2110E 11	.2989E 11	.2489E 01	.3812E 00	.5770E 00	.5385E 11
.760E 07	.4108E 11	.8552E 11	.2161E 11	.3037E 11	.2484E 01	.3786E 00	.5749E 00	.5514E 11
.778E 07	.4243E 11	.8781E 11	.2212E 11	.3118E 11	.2483E 01	.3799E 00	.5764E 00	.5664E 11
.795E 07	.4360E 11	.8982E 11	.2265E 11	.3175E 11	.2488E 01	.3798E 00	.5784E 00	.5808E 11
.812E 07	.4380E 11	.9164E 11	.2308E 11	.3221E 11	.2486E 01	.3765E 00	.5763E 00	.5943E 11
.829E 07	.4510E 11	.9362E 11	.2360E 11	.3267E 11	.2485E 01	.3781E 00	.5799E 00	.6095E 11
.846E 07	.4623E 11	.9567E 11	.2410E 11	.3316E 11	.2489E 01	.3777E 00	.5823E 00	.6251E 11

INSTAL. LACIÓ SOLAR

TIME	EP	EG	EBC	EE	COPM	RMPN	FSG	AEE
.259E 08	.1402E 12	.2963E 12	.7076E 11	.8324E 11	.2658E 01	.3841E 00	.6337E 00	.2131E 12
.261E 08	.1459E 12	.2982E 12	.7138E 11	.8370E 11	.2660E 01	.3836E 00	.6355E 00	.2143E 12
.263E 08	.1499E 12	.3002E 12	.7184E 11	.8421E 11	.2660E 01	.3837E 00	.6336E 00	.2160E 12
.264E 08	.1484E 12	.3024E 12	.7233E 11	.8472E 11	.2662E 01	.3846E 00	.6366E 00	.2176E 12
.266E 08	.1491E 12	.3043E 12	.7273E 11	.8515E 11	.2664E 01	.3841E 00	.6363E 00	.2192E 12
.268E 08	.1501E 12	.3061E 12	.7317E 11	.8561E 11	.2663E 01	.3844E 00	.6368E 00	.2205E 12
.270E 08	.1515E 12	.3081E 12	.7359E 11	.8607E 11	.2666E 01	.3849E 00	.6377E 00	.2221E 12
.271E 08	.1522E 12	.3101E 12	.7403E 11	.8649E 11	.2668E 01	.3846E 00	.6376E 00	.2236E 12
.273E 08	.1532E 12	.3120E 12	.7448E 11	.8697E 11	.2667E 01	.3850E 00	.6379E 00	.2250E 12
.275E 08	.1545E 12	.3141E 12	.7498E 11	.8744E 11	.2669E 01	.3853E 00	.6386E 00	.2267E 12
.276E 08	.1551E 12	.3160E 12	.7536E 11	.8785E 11	.2671E 01	.3846E 00	.6384E 00	.2282E 12
.278E 08	.1561E 12	.3178E 12	.7586E 11	.8827E 11	.2670E 01	.3848E 00	.6387E 00	.2295E 12
.280E 08	.1574E 12	.3199E 12	.7631E 11	.8874E 11	.2672E 01	.3852E 00	.6395E 00	.2312E 12
.282E 08	.1580E 12	.3218E 12	.7664E 11	.8909E 11	.2674E 01	.3846E 00	.6395E 00	.2327E 12
.283E 08	.1590E 12	.3235E 12	.7712E 11	.8956E 11	.2674E 01	.3849E 00	.6397E 00	.2340E 12
.285E 08	.1604E 12	.3256E 12	.7761E 11	.9002E 11	.2675E 01	.3855E 00	.6405E 00	.2356E 12
.287E 08	.1611E 12	.3275E 12	.7799E 11	.9039E 11	.2677E 01	.3852E 00	.6406E 00	.2371E 12
.289E 08	.1621E 12	.3294E 12	.7853E 11	.9092E 11	.2675E 01	.3856E 00	.6407E 00	.2389E 12
.290E 08	.1635E 12	.3314E 12	.7897E 11	.9139E 11	.2677E 01	.3861E 00	.6415E 00	.2400E 12
.292E 08	.1642E 12	.3337E 12	.7943E 11	.9184E 11	.2678E 01	.3858E 00	.6413E 00	.2418E 12
.294E 08	.1653E 12	.3355E 12	.7994E 11	.9239E 11	.2677E 01	.3863E 00	.6415E 00	.2432E 12
.295E 08	.1667E 12	.3375E 12	.8047E 11	.9295E 11	.2678E 01	.3869E 00	.6420E 00	.2446E 12
.297E 08	.1674E 12	.3394E 12	.8083E 11	.9335E 11	.2679E 01	.3865E 00	.6420E 00	.2460E 12
.299E 08	.1684E 12	.3413E 12	.8127E 11	.9384E 11	.2678E 01	.3868E 00	.6421E 00	.2474E 12
.301E 08	.1697E 12	.3435E 12	.8179E 11	.9441E 11	.2679E 01	.3873E 00	.6425E 00	.2491E 12
.302E 08	.1704E 12	.3454E 12	.8222E 11	.9488E 11	.2679E 01	.3871E 00	.6424E 00	.2505E 12
.304E 08	.1712E 12	.3473E 12	.8274E 11	.9535E 11	.2678E 01	.3870E 00	.6423E 00	.2520E 12
.306E 08	.1727E 12	.3492E 12	.8321E 11	.9579E 11	.2679E 01	.3879E 00	.6432E 00	.2534E 12
.308E 08	.1733E 12	.3512E 12	.8369E 11	.9629E 11	.2679E 01	.3873E 00	.6428E 00	.2547E 12
.309E 08	.1743E 12	.3530E 12	.8415E 11	.9677E 11	.2677E 01	.3877E 00	.6430E 00	.2562E 12
.311E 08	.1755E 12	.3550E 12	.8466E 11	.9728E 11	.2678E 01	.3879E 00	.6433E 00	.2577E 12
.313E 08	.1760E 12	.3569E 12	.8500E 11	.9759E 11	.2679E 01	.3873E 00	.6434E 00	.2593E 12
.315E 08	.1770E 12	.3587E 12	.8552E 11	.9814E 11	.2678E 01	.3877E 00	.6433E 00	.2606E 12

Figura 14. Simulació del comportament anual. Augment del volum dels acumuladors.